CIE02 tristimulus values, chromatic values, and putities (n_a=2,8, n_b=−1,0).
Normalized *Ostwald (O)* tristimulus values (Y_w=100), ordered by wavelength.

no.	*O*	*C*	λ_n	*X*	*Y*	*Z*	*x*	*y*	*z*	A_{nu}	B_{nu}	C_{ABnu}	h_{ABnu}
				tristimulus values and chromaticities						***nu*-chromatic values**			
00	396		31,24	12,19	76,69	0,260	0,101	0,638	13,3	−66,6	67,9	281
01	463		13,25	6,34	78,11	0,135	0,064	0,799	−18,3	−72,8	75,1	255
02	466		13,27	8,01	79,21	0,132	0,079	0,788	−21,8	−72,6	75,8	253
03	471		13,39	12,66	80,68	0,125	0,118	0,755	−30,8	−70,2	76,7	246
04	475B		14,00	19,21	81,44	0,122	0,167	0,710	−41,8	−65,6	77,8	237
05	479		15,61	27,50	81,85	0,124	0,220	0,655	−53,5	−59,2	79,8	227
06	481		18,42	36,66	82,05	0,134	0,267	0,598	−64,0	−51,9	82,4	219
07	483		20,35	41,45	82,11	0,141	0,288	0,570	−68,4	−48,0	83,5	215
08	484		22,64	46,29	82,14	0,149	0,306	0,543	−72,0	−44,0	84,4	211
09	485		25,29	51,06	82,16	0,159	0,322	0,518	−74,6	−40,1	84,7	208
10	486C		29,62	57,81	81,62	0,175	0,341	0,482	−76,7	−34,0	84,0	203
11	490		26,32	58,17	63,51	0,177	0,393	0,429	−76,4	−15,6	78,0	191
12	497		23,01	58,66	42,48	0,185	0,472	0,342	−74,9	5,7	75,1	175
13	501		22,62	59,57	35,18	0,192	0,507	0,299	−74,0	13,7	75,3	169
14	506		22,26	60,29	28,28	0,200	0,543	0,255	−72,8	21,2	75,9	163
15	519		21,83	61,02	17,06	0,218	0,610	0,170	−69,8	33,1	77,3	154
16	522G		24,04	63,42	17,06	0,230	0,606	0,163	−69,1	35,0	77,5	153
17	535		27,22	66,19	9,71	0,263	0,641	0,094	−63,3	44,7	77,5	144
18	544		35,20	72,16	7,33	0,306	0,629	0,063	−54,6	52,0	75,4	136
19	561		65,07	87,80	5,54	0,410	0,554	0,034	−13,3	66,6	67,9	101
20	568		83,05	93,65	4,13	0,459	0,517	0,022	18,3	72,8	75,1	75
21	569		83,03	91,98	3,02	0,466	0,516	0,016	21,8	72,6	75,8	73
22	571		82,92	87,33	1,55	0,482	0,508	0,009	30,9	70,2	76,7	66
23	573Y		82,30	80,76	0,80	0,502	0,492	0,004	41,9	65,6	77,8	57
24	577		80,69	72,49	0,38	0,525	0,472	0,002	53,6	59,2	79,8	47
25	581		77,87	63,33	0,18	0,550	0,447	0,001	64,0	51,8	82,4	39
26	583		75,96	58,54	0,13	0,564	0,434	0,000	68,4	48,0	83,6	35
27	585		73,67	53,70	0,09	0,577	0,421	0,000	72,0	44,0	84,4	31
28	587		71,01	48,93	0,07	0,591	0,407	0,000	74,7	40,1	84,8	28
29	592R		66,69	42,18	0,61	0,609	0,385	0,005	76,8	34,0	84,0	23
30	631		69,99	41,82	18,71	0,536	0,320	0,143	76,4	15,6	78,0	11
31	702		73,30	41,33	39,75	0,474	0,267	0,257	74,9	−5,7	75,2	355
32	706		73,69	40,41	47,04	0,457	0,250	0,291	74,0	−13,8	75,3	349
33	711		74,05	39,70	53,95	0,441	0,236	0,321	72,9	−21,3	75,9	343
34	724		74,48	38,97	65,18	0,416	0,218	0,364	69,9	−33,1	77,3	334
35	727M		72,26	36,57	65,17	0,415	0,210	0,374	69,2	−35,1	77,5	333
36	740		69,08	33,80	72,53	0,393	0,192	0,413	63,3	−44,7	77,5	324
37	749		61,10	27,83	74,91	0,372	0,169	0,457	54,7	−52,0	75,4	316
38	766		31,24	12,19	76,69	0,260	0,101	0,638	13,3	−66,6	67,9	281
39	828		13,25	6,34	78,11	0,135	0,064	0,799	−18,3	−72,8	75,1	255
U=D50				**96,31**	**99,99**	**82,24**	**0,345**	**0,358**	**0,358**	**0,0**	**0,0**	**0,0**	**0**

$a=p_{an}=n_a p_a$=2,8[(1,000x−0,171+0,000z)/y] $A_{nu}=(a-a_u)\,Y$ $C_{ABnu}=[A^2_{nu}+B^2_{nu}]^{1/2}$
$b=p_{bn}=n_b p_b$=−1,0[(0,000x+0,000+1,000z)/y] $B_{nu}=(b-b_u)\,Y$ h_{ABnu}=atan[B_{nu}/A_{nu}]

DE720−3N

CIE02 tristimulus values, chromatic values, and putities (n_a=2,8, n_b=−1,0).
Normalized *Ostwald (O)* tristimulus values (Y_w=100), ordered by hue angle.

no.	*O*	*C*	λ_n	*X*	*Y*	*Z*	*x*	*y*	*z*	A_{nu}	B_{nu}	C_{ABnu}	h_{ABnu}
				tristimulus values and chromaticities						***nu*-chromatic values**			
00	631		69,99	41,82	18,71	0,536	0,320	0,143	76,4	15,6	78,0	371
01	702		73,30	41,33	39,75	0,474	0,267	0,257	74,9	−5,7	75,2	355
02	706		73,69	40,41	47,04	0,457	0,250	0,291	74,0	−13,8	75,3	349
03	711		74,05	39,70	53,95	0,441	0,236	0,321	72,9	−21,3	75,9	343
04	724		74,48	38,97	65,18	0,416	0,218	0,364	69,9	−33,1	77,3	334
05	727M		72,26	36,57	65,17	0,415	0,210	0,374	69,2	−35,1	77,5	333
06	740		69,08	33,80	72,53	0,393	0,192	0,413	63,3	−44,7	77,5	324
07	749		61,10	27,83	74,91	0,372	0,169	0,457	54,7	−52,0	75,4	316
08	396		31,24	12,19	76,69	0,260	0,101	0,638	13,3	−66,6	67,9	281
09	463		13,25	6,34	78,11	0,135	0,064	0,799	−18,3	−72,8	75,1	255
10	466		13,27	8,01	79,21	0,132	0,079	0,788	−21,8	−72,6	75,8	253
11	471		13,39	12,66	80,68	0,125	0,118	0,755	−30,8	−70,2	76,7	246
12	475B		14,00	19,21	81,44	0,122	0,167	0,710	−41,8	−65,6	77,8	237
13	479		15,61	27,50	81,85	0,124	0,220	0,655	−53,5	−59,2	79,8	227
14	481		18,42	36,66	82,05	0,134	0,267	0,598	−64,0	−51,9	82,4	219
15	483		20,35	41,45	82,11	0,141	0,288	0,570	−68,4	−48,0	83,5	215
16	484		22,64	46,29	82,14	0,149	0,306	0,543	−72,0	−44,0	84,4	211
17	485		25,29	51,06	82,16	0,159	0,322	0,518	−74,6	−40,1	84,7	208
18	486C		29,62	57,81	81,62	0,175	0,341	0,482	−76,7	−34,0	84,0	203
19	490		26,32	58,17	63,51	0,177	0,393	0,429	−76,4	−15,6	78,0	191
20	497		23,01	58,66	42,48	0,185	0,472	0,342	−74,9	5,7	75,1	175
21	501		22,62	59,57	35,18	0,192	0,507	0,299	−74,0	13,7	75,3	169
22	506		22,26	60,29	28,28	0,200	0,543	0,255	−72,8	21,2	75,9	163
23	519G		21,83	61,02	17,06	0,218	0,610	0,170	−69,8	33,1	77,3	154
24	522		24,04	63,42	17,06	0,230	0,606	0,163	−69,1	35,0	77,5	153
25	535		27,22	66,19	9,71	0,263	0,641	0,094	−63,3	44,7	77,5	144
26	544		35,20	72,16	7,33	0,306	0,629	0,063	−54,6	52,0	75,4	136
27	561		65,07	87,80	5,54	0,410	0,554	0,034	−13,3	66,6	67,9	101
28	568		83,05	93,65	4,13	0,459	0,517	0,022	18,3	72,8	75,1	75
29	569		83,03	91,98	3,02	0,466	0,516	0,016	21,8	72,6	75,8	73
30	571		82,92	87,33	1,55	0,482	0,508	0,009	30,9	70,2	76,7	66
31	573		82,30	80,76	0,80	0,502	0,492	0,004	41,9	65,6	77,8	57
32	577Y		80,69	72,49	0,38	0,525	0,472	0,002	53,6	59,2	79,8	47
33	581		77,87	63,33	0,18	0,550	0,447	0,001	64,0	51,8	82,4	39
34	583		75,96	58,54	0,13	0,564	0,434	0,000	68,4	48,0	83,6	35
35	585		73,67	53,70	0,09	0,577	0,421	0,000	72,0	44,0	84,4	31
36	587R		71,01	48,93	0,07	0,591	0,407	0,000	74,7	40,1	84,8	28
37	592		66,69	42,18	0,61	0,609	0,385	0,005	76,8	34,0	84,0	23
38	631		69,99	41,82	18,71	0,536	0,320	0,143	76,4	15,6	78,0	11
39	702		73,30	41,33	39,75	0,474	0,267	0,257	74,9	−5,7	75,2	−4
U=D50				**96,31**	**99,99**	**82,24**	**0,345**	**0,358**	**0,358**	**0,0**	**0,0**	**0,0**	**0**

$a=p_{an}=n_a p_a$=2,8[(1,000x−0,171+0,000z)/y] $A_{nu}=(a-a_u)\,Y$ $C_{ABnu}=[A^2_{nu}+B^2_{nu}]^{1/2}$
$b=p_{bn}=n_b p_b$=−1,0[(0,000x+0,000+1,000z)/y] $B_{nu}=(b-b_u)\,Y$ h_{ABnu}=atan[B_{nu}/A_{nu}]

DE720−7N

DE720−7R_pchartl=2_xcolorl=0(CIE02)

CIE02 tristimulus values, chromatic values, and putities (n_a=2,8, n_b=−1,0).
Normalized *Ostwald (O)* tristimulus values (Y_w=100), ordered by wavelength.

no.	*O*	*C*	λ_n	*Y*	p_{an}	p_{bn}	p_{rn}	h_{abn}	p_{anu}	p_{bnu}	p_{rnu}	h_{abnu}
				***n*-purities**					***nu*-purities**			
00	396		12,19	2,45	−6,29	6,75	291		1,09	−5,46	5,57	281
01	463		6,34	−1,52	−12,32	12,41	262		−2,88	−11,49	11,85	255
02	466		8,01	−1,36	−9,88	9,98	262		−2,73	−9,06	9,46	253
03	471		12,66	−1,07	−6,37	6,46	260		−2,43	−5,55	6,06	246
04	475B		19,21	−0,81	−4,23	4,31	259		−2,17	−3,41	4,05	237
05	479		27,50	−0,58	−2,97	3,03	258		−1,94	−2,15	2,90	227
06	481		36,66	−0,38	−2,23	2,27	260		−1,74	−1,41	2,24	219
07	483		41,45	−0,28	−1,98	2,00	261		−1,65	−1,15	2,01	215
08	484		46,29	−0,19	−1,77	1,78	263		−1,55	−0,95	1,82	211
09	485		51,06	−0,09	−1,60	1,61	266		−1,46	−0,78	1,66	208
10	486C		57,81	0,03	−1,41	1,41	271		−1,32	−0,58	1,45	203
11	490		58,17	0,04	−1,09	1,09	272		−1,31	−0,26	1,34	191
12	497		58,66	0,08	−0,72	0,72	276		−1,27	0,09	1,28	175
13	501		59,57	0,11	−0,59	0,60	281		−1,24	0,23	1,26	169
14	506		60,29	0,15	−0,46	0,49	288		−1,20	0,35	1,25	163
15	519		61,02	0,21	−0,27	0,35	307		−1,14	0,54	1,26	154
16	522G		63,42	0,27	−0,26	0,38	315		−1,09	0,55	1,22	153
17	535		66,19	0,40	−0,14	0,43	340		−0,95	0,67	1,17	144
18	544		72,16	0,60	−0,10	0,61	350		−0,75	0,72	1,04	136
19	561		87,80	1,21	−0,06	1,21	357		−0,15	0,75	0,77	101
20	568		93,65	1,55	−0,04	1,55	358		0,19	0,77	0,80	75
21	569		91,98	1,60	−0,03	1,60	358		0,23	0,78	0,82	73
22	571		87,33	1,71	−0,01	1,71	359		0,35	0,80	0,87	66
23	573Y		80,76	1,88	−0,00	1,88	359		0,51	0,81	0,96	57
24	577		72,49	2,10	−0,00	2,10	359		0,73	0,81	1,10	47
25	581		63,33	2,37	−0,00	2,37	359		1,01	0,81	1,30	39
26	583		58,54	2,53	−0,00	2,53	359		1,16	0,82	1,42	35
27	585		53,70	2,70	−0,00	2,70	359		1,34	0,82	1,57	31
28	587		48,93	2,88	−0,00	2,88	359		1,52	0,82	1,73	28
29	592R		42,18	3,18	−0,01	3,18	359		1,82	0,80	1,99	23
30	631		41,82	3,19	−0,44	3,22	352		1,82	0,37	1,86	11
31	702		41,33	3,17	−0,96	3,31	343		1,81	−0,13	1,82	355
32	706		40,41	3,19	−1,16	3,40	339		1,83	−0,34	1,86	349
33	711		39,70	3,20	−1,35	3,47	336		1,83	−0,53	1,91	343
34	724		38,97	3,15	−1,67	3,57	332		1,79	−0,85	1,98	334
35	727M		36,57	3,25	−1,78	3,71	331		1,89	−0,95	2,12	333
36	740		33,80	3,23	−2,14	3,88	326		1,87	−1,32	2,29	324
37	749		27,83	3,32	−2,69	4,28	321		1,96	−1,86	2,71	316
38	766		12,19	2,45	−6,29	6,75	291		1,09	−5,46	5,57	281
39	828		6,34	−1,52	−12,32	12,41	262		−2,88	−11,49	11,85	255
U=D50				**99,99**	**1,362**	**−0,822**	**1,591**	**328**	**0,0**	**0,0**	**0,0**	**0**

$a=p_{an}=n_a p_a$=2,8[(1,000x−0,171+0,000z)/y] $A_{nu}=(a-a_u)\,Y$ $C_{ABnu}=[A^2_{nu}+B^2_{nu}]^{1/2}$
$b=p_{bn}=n_b p_b$=−1,0[(0,000x+0,000+1,000z)/y] $B_{nu}=(b-b_u)\,Y$ h_{ABnu}=atan[B_{nu}/A_{nu}]

DE720−8N

CIE02 tristimulus values, chromatic values, and putities (n_a=2,8, n_b=−1,0).
Normalized *Ostwald (O)* tristimulus values (Y_w=100), ordered by hue angle.

no.	*O*	*C*	λ_n	*Y*	p_{an}	p_{bn}	p_{rn}	h_{abn}	p_{anu}	p_{bnu}	p_{rnu}	h_{abnu}
				***n*-purities**					***nu*-purities**			
00	631		41,82	3,19	−0,44	3,22	352		1,82	0,37	1,86	371
01	702		41,33	3,17	−0,96	3,31	343		1,81	−0,13	1,82	355
02	706		40,41	3,19	−1,16	3,40	339		1,83	−0,34	1,86	349
03	711		39,70	3,20	−1,35	3,47	336		1,83	−0,53	1,91	343
04	724		38,97	3,15	−1,67	3,57	332		1,79	−0,85	1,98	334
05	727M		36,57	3,25	−1,78	3,71	331		1,89	−0,95	2,12	333
06	740		33,80	3,23	−2,14	3,88	326		1,87	−1,32	2,29	324
07	749		27,83	3,32	−2,69	4,28	321		1,96	−1,86	2,71	316
08	396		12,19	2,45	−6,29	6,75	291		1,09	−5,46	5,57	281
09	463		6,34	−1,52	−12,32	12,41	262		−2,88	−11,49	11,85	255
10	466		8,01	−1,36	−9,88	9,98	262		−2,73	−9,06	9,46	253
11	471		12,66	−1,07	−6,37	6,46	260		−2,43	−5,55	6,06	246
12	475B		19,21	−0,81	−4,23	4,31	259		−2,17	−3,41	4,05	237
13	479		27,50	−0,58	−2,97	3,03	258		−1,94	−2,15	2,90	227
14	481		36,66	−0,38	−2,23	2,27	260		−1,74	−1,41	2,24	219
15	483		41,45	−0,28	−1,98	2,00	261		−1,65	−1,15	2,01	215
16	484		46,29	−0,19	−1,77	1,78	263		−1,55	−0,95	1,82	211
17	485		51,06	−0,09	−1,60	1,61	266		−1,46	−0,78	1,66	208
18	486C		57,81	0,03	−1,41	1,41	271		−1,32	−0,58	1,45	203
19	490		58,17	0,04	−1,09	1,09	272		−1,31	−0,26	1,34	191
20	497		58,66	0,08	−0,72	0,72	276		−1,27	0,09	1,28	175
21	501		59,57	0,11	−0,59	0,60	281		−1,24	0,23	1,26	169
22	506		60,29	0,15	−0,46	0,49	288		−1,20	0,35	1,25	163
23	519G		61,02	0,21	−0,27	0,35	307		−1,14	0,54	1,26	154
24	522		63,42	0,27	−0,26	0,38	315		−1,09	0,55	1,22	153
25	535		66,19	0,40	−0,14	0,43	340		−0,95	0,67	1,17	144
26	544		72,16	0,60	−0,10	0,61	350		−0,75	0,72	1,04	136
27	561		87,80	1,21	−0,06	1,21	357		−0,15	0,75	0,77	101
28	568		93,65	1,55	−0,04	1,55	358		0,19	0,77	0,80	75
29	569		91,98	1,60	−0,03	1,60	358		0,23	0,78	0,82	73
30	571		87,33	1,71	−0,01	1,71	359		0,35	0,80	0,87	66
31	573		80,76	1,88	−0,00	1,88	359		0,51	0,81	0,96	57
32	577Y		72,49	2,10	−0,00	2,10	359		0,73	0,81	1,10	47
33	581		63,33	2,37	−0,00	2,37	359		1,01	0,81	1,30	39
34	583		58,54	2,53	−0,00	2,53	359		1,16	0,82	1,42	35
35	585		53,70	2,70	−0,00	2,70	359		1,34	0,82	1,57	31
36	587R		48,93	2,88	−0,00	2,88	359		1,52	0,82	1,73	28
37	592		42,18	3,18	−0,01	3,18	0		1,82	0,80	1,99	23
38	631		41,82	3,19	−0,44	3,22	−7		1,82	0,37	1,86	11
39	702		41,33	3,17	−0,96	3,31	−16		1,81	−0,13	1,82	−4
U=D50				**99,99**	**1,362**	**−0,822**	**1,591**	**328**	**0,0**	**0,0**	**0,0**	**0**

$a=p_{an}=n_a p_a$=2,8[(1,000x−0,171+0,000z)/y] $A_{nu}=(a-a_u)\,Y$ $C_{ABnu}=[A^2_{nu}+B^2_{nu}]^{1/2}$
$b=p_{bn}=n_b p_b$=−1,0[(0,000x+0,000+1,000z)/y] $B_{nu}=(b-b_u)\,Y$ h_{ABnu}=atan[B_{nu}/A_{nu}]

DE720−8N

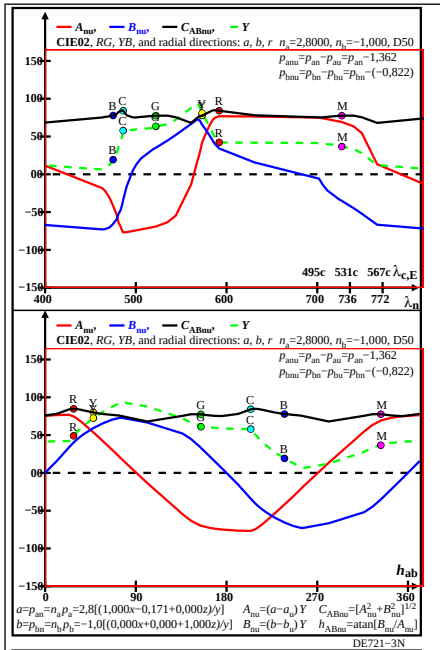

DE721−3N

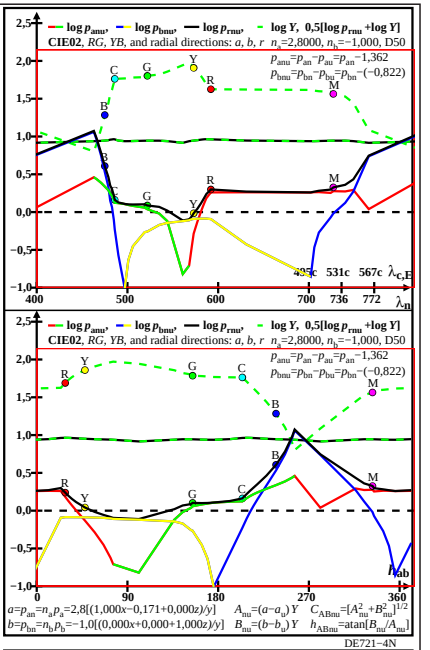

DE721−4N

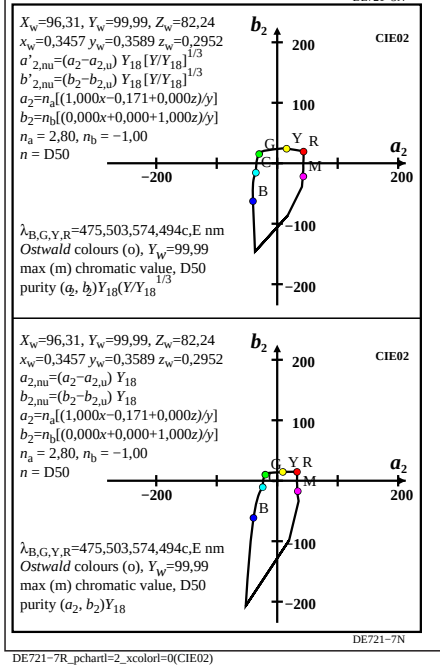

DE721−7N

DE721−7R_pchartl=2_xcolorl=0(CIE02)

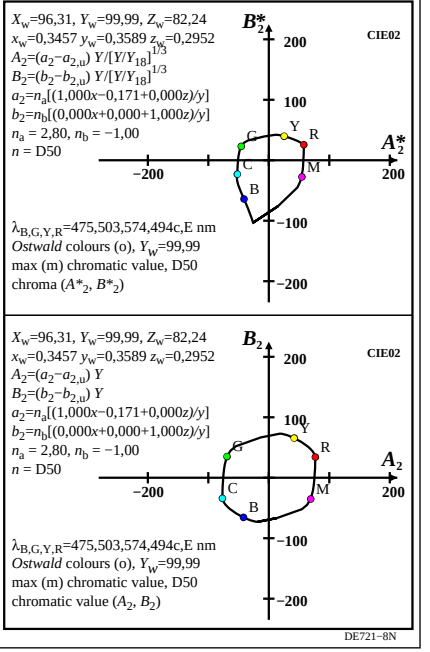

DE721−8N

CIE10 tristimulus values, chromatic values, and putities (n_a=2,8, n_b=−1,0).
Normalized *Ostwald (O)* tristimulus values (Y_w=100), ordered by wavelength.

no.	*O*	*C*	λ_n	*X*	*Y*	*Z*	*x*	*y*	*z*	A_{nu}	B_{nu}	C_{ABnu}	h_{ABnu}
00	376			55,24	26,06	71,08	0,362	0,171	0,466	45,8	−49,9	67,8	312
01	458			13,22	7,40	75,87	0,136	0,076	0,786	−19,3	−69,8	72,5	254
02	460			13,26	8,89	77,33	0,133	0,089	0,777	−22,7	−70,1	73,7	252
03	462			13,28	10,68	78,42	0,129	0,104	0,765	−26,5	−69,7	74,6	249
04	462B			13,28	10,68	78,42	0,129	0,104	0,765	−26,5	−69,7	74,6	249
05	468			13,66	17,92	80,19	0,122	0,160	0,717	−39,9	−65,6	76,8	238
06	471			14,70	24,41	80,73	0,122	0,203	0,673	−49,7	−60,9	78,6	230
07	473			15,60	28,17	80,89	0,125	0,225	0,648	−54,7	−58,0	79,7	226
08	475			18,32	36,37	81,08	0,134	0,267	0,597	−63,7	−51,5	81,9	218
09	477			22,35	45,10	81,16	0,150	0,303	0,546	−70,5	−44,5	83,4	212
10	477C			22,35	45,10	81,16	0,150	0,303	0,546	−70,5	−44,5	83,4	212
11	479			27,82	53,94	81,17	0,170	0,331	0,498	−74,2	−37,3	83,1	206
12	480			30,64	58,21	79,19	0,182	0,346	0,471	−74,7	−31,9	81,2	203
13	484			25,67	56,42	59,80	0,180	0,397	0,421	−73,6	−14,0	74,9	190
14	492			22,50	56,65	38,03	0,192	0,483	0,324	−71,0	7,9	71,4	173
15	503			21,56	57,40	24,28	0,208	0,555	0,235	−67,9	22,2	71,5	161
16	512G			22,19	58,45	18,53	0,223	0,589	0,186	−65,7	28,9	71,8	156
17	521			24,28	60,61	13,79	0,246	0,614	0,139	−62,6	35,3	71,9	150
18	531			29,00	64,47	10,07	0,280	0,622	0,097	−57,0	42,2	70,9	143
19	541			41,39	73,93	10,07	0,330	0,589	0,080	−45,8	49,9	67,7	132
20	563			83,41	92,59	5,28	0,460	0,510	0,029	19,4	69,8	72,5	74
21	564			83,37	91,09	3,82	0,467	0,510	0,021	22,8	70,0	73,7	71
22	565			83,35	89,31	2,74	0,475	0,509	0,015	26,5	69,7	74,6	69
23	565Y			83,35	89,31	2,74	0,475	0,509	0,015	26,5	69,7	74,6	69
24	568			82,96	82,07	0,96	0,499	0,494	0,005	39,9	65,6	76,8	58
25	571			81,93	75,58	0,44	0,518	0,478	0,002	49,8	60,8	78,6	50
26	573			81,03	71,82	0,27	0,529	0,469	0,001	54,8	58,0	79,8	46
27	577			78,31	63,62	0,08	0,551	0,447	0,000	63,7	51,5	82,0	38
28	581			74,28	54,89	0,01	0,575	0,424	0,000	70,6	44,5	83,5	32
29	581R			74,28	54,89	0,01	0,575	0,424	0,000	70,6	44,5	83,5	32
30	587			68,81	46,05	0,00	0,599	0,400	0,000	74,3	37,3	83,2	26
31	589			67,60	44,04	0,93	0,600	0,391	0,008	74,8	34,8	82,5	24
32	692			70,96	43,57	21,37	0,522	0,320	0,157	73,7	13,9	75,0	10
33	697			74,12	43,34	43,14	0,461	0,269	0,268	71,0	−7,9	71,4	353
34	708			75,07	42,59	56,88	0,430	0,244	0,325	68,0	−22,3	71,6	341
35	717M			74,44	41,54	62,63	0,416	0,232	0,350	65,7	−28,9	71,8	336
36	726			72,35	39,38	67,37	0,403	0,219	0,376	62,6	−35,4	71,9	330
37	736			67,62	35,52	71,08	0,388	0,203	0,408	57,0	−42,2	71,0	323
38	746			55,24	26,06	71,08	0,362	0,171	0,466	45,8	−49,9	67,8	312
39	823			13,22	7,40	75,87	0,136	0,076	0,786	−19,3	−69,8	72,5	254
U=D50				**96,63**	**100,00**	**81,17**	**0,347**	**0,359**	**0,359**	**0,0**	**0,0**	**0,0**	**0**

$a=p_{an}=n_a p_a$=2,8[(1,000x−0,171+0,000z)/y] $A_{nu}=(a-a_u)\,Y$ $C_{ABnu}=[A^2_{nu}+B^2_{nu}]^{1/2}$
$b=p_{bn}=n_b p_b$=−1,0[(0,000x+0,000+1,000z)/y] $B_{nu}=(b-b_u)\,Y$ h_{ABnu}=atan[B_{nu}/A_{nu}]

DE720−3N

CIE10 tristimulus values, chromatic values, and putities (n_a=2,8, n_b=−1,0).
Normalized *Ostwald (O)* tristimulus values (Y_w=100), ordered by wavelength.

no.	*O*	*C*	λ_n	*Y*	p_{an}	p_{bn}	p_{rn}	h_{abn}	p_{anu}	p_{bnu}	p_{rnu}	h_{abnu}
00	376			26,06	3,13	−2,72	4,15	318	1,76	−1,91	2,60	312
01	458			7,40	−1,24	−10,25	10,32	263	−2,61	−9,44	9,79	254
02	460			8,89	−1,18	−8,68	8,76	262	−2,55	−7,87	8,28	252
03	462			10,68	−1,10	−7,34	7,42	261	−2,48	−6,53	6,98	249
04	462B			10,68	−1,10	−7,34	7,42	261	−2,48	−6,53	6,98	249
05	468			17,92	−0,85	−4,47	4,55	259	−2,22	−3,66	4,28	238
06	471			24,41	−0,66	−3,30	3,37	258	−2,03	−2,49	3,22	230
07	473			28,17	−0,56	−2,87	2,92	258	−1,94	−2,06	2,83	226
08	475			36,37	−0,37	−2,22	2,26	260	−1,75	−1,41	2,25	218
09	477			45,10	−0,19	−1,79	1,80	263	−1,56	−0,98	1,85	212
10	477C			45,10	−0,19	−1,79	1,80	263	−1,56	−0,98	1,85	212
11	479			53,94	−0,00	−1,50	1,50	269	−1,37	−0,69	1,54	206
12	480			58,21	0,09	−1,36	1,36	273	−1,28	−0,54	1,39	203
13	484			56,42	0,06	−1,05	1,06	273	−1,30	−0,24	1,32	190
14	492			56,65	0,12	−0,67	0,68	280	−1,25	0,14	1,26	173
15	503			57,40	0,19	−0,42	0,46	294	−1,18	0,38	1,24	161
16	512G			58,45	0,25	−0,31	0,40	308	−1,12	0,49	1,22	156
17	521			60,61	0,34	−0,22	0,41	326	−1,03	0,58	1,18	150
18	531			64,47	0,49	−0,15	0,51	342	−0,88	0,65	1,10	143
19	541			73,93	0,75	−0,13	0,76	349	−0,61	0,67	0,91	132
20	563			92,59	1,58	−0,05	1,58	357	0,20	0,75	0,78	74
21	564			91,09	1,62	−0,04	1,62	358	0,25	0,76	0,80	71
22	565			89,31	1,67	−0,03	1,67	358	0,29	0,78	0,83	69
23	565Y			89,31	1,67	−0,03	1,67	358	0,29	0,78	0,83	69
24	568			82,07	1,86	−0,01	1,86	359	0,48	0,79	0,93	58
25	571			75,58	2,03	−0,00	2,03	359	0,65	0,80	1,04	50
26	573			71,82	2,13	−0,00	2,13	359	0,76	0,80	1,11	46
27	577			63,62	2,37	−0,00	2,37	359	1,00	0,81	1,28	38
28	581			54,89	2,66	−0,00	2,66	359	1,28	0,81	1,52	32
29	581R			54,89	2,66	−0,00	2,66	359	1,28	0,81	1,52	32
30	587			46,05	2,98	0,00	2,98	0	1,61	0,81	1,80	26
31	589			44,04	3,07	−0,02	3,07	359	1,69	0,79	1,87	24
32	692			43,57	3,06	−0,49	3,10	350	1,69	0,32	1,72	10
33	697			43,34	3,01	−0,99	3,17	341	1,63	−0,18	1,64	353
34	708			42,59	2,97	−1,33	3,25	335	1,59	−0,52	1,68	341
35	717M			41,54	2,95	−1,50	3,32	332	1,58	−0,69	1,73	336
36	726			39,38	2,96	−1,71	3,42	330	1,59	−0,89	1,82	330
37	736			35,52	2,98	−2,00	3,59	326	1,60	−1,18	1,99	323
38	746			26,06	3,13	−2,72	4,15	318	1,76	−1,91	2,60	312
39	823			7,40	−1,24	−10,25	10,32	263	−2,61	−9,44	9,79	254
U=D50				**100,00**	**1,375**	**−0,811**	**1,596**	**329**	**0,0**	**0,0**	**0,0**	**0**

$a=p_{an}=n_a p_a$=2,8[(1,000x−0,171+0,000z)/y] $A_{nu}=(a-a_u)\,Y$ $C_{ABnu}=[A^2_{nu}+B^2_{nu}]^{1/2}$
$b=p_{bn}=n_b p_b$=−1,0[(0,000x+0,000+1,000z)/y] $B_{nu}=(b-b_u)\,Y$ h_{ABnu}=atan[B_{nu}/A_{nu}]

DE720−4N

CIE10 tristimulus values, chromatic values, and putities (n_a=2,8, n_b=−1,0).
Normalized *Ostwald (O)* tristimulus values (Y_w=100), ordered by hue angle.

no.	*O*	*C*	λ_n	*X*	*Y*	*Z*	*x*	*y*	*z*	A_{nu}	B_{nu}	C_{ABnu}	h_{ABnu}
00	692			70,96	43,57	21,37	0,522	0,320	0,157	73,7	13,9	75,0	370
01	697			74,12	43,34	43,14	0,461	0,269	0,268	71,0	−7,9	71,4	353
02	708			75,07	42,59	56,88	0,430	0,244	0,325	68,0	−22,3	71,6	341
03	717			74,44	41,54	62,63	0,416	0,232	0,350	65,7	−28,9	71,8	336
04	726			72,35	39,38	67,37	0,403	0,219	0,376	62,6	−35,4	71,9	330
05	736M			67,62	35,52	71,08	0,388	0,203	0,408	57,0	−42,2	71,0	323
06	376			55,24	26,06	71,08	0,362	0,171	0,466	45,8	−49,9	67,8	312
07	458			13,22	7,40	75,87	0,136	0,076	0,786	−19,3	−69,8	72,5	254
08	460			13,26	8,89	77,33	0,133	0,089	0,777	−22,7	−70,1	73,7	252
09	462			13,28	10,68	78,42	0,129	0,104	0,765	−26,5	−69,7	74,6	249
10	462			13,28	10,68	78,42	0,129	0,104	0,765	−26,5	−69,7	74,6	249
11	468			13,66	17,92	80,19	0,122	0,160	0,717	−39,9	−65,6	76,8	238
12	471B			14,70	24,41	80,73	0,122	0,203	0,673	−49,7	−60,9	78,6	230
13	473			15,60	28,17	80,89	0,125	0,225	0,648	−54,7	−58,0	79,7	226
14	475			18,32	36,37	81,08	0,134	0,267	0,597	−63,7	−51,5	81,9	218
15	477			22,35	45,10	81,16	0,150	0,303	0,546	−70,5	−44,5	83,4	212
16	477			22,35	45,10	81,16	0,150	0,303	0,546	−70,5	−44,5	83,4	212
17	479			27,82	53,94	81,17	0,170	0,331	0,498	−74,2	−37,3	83,1	206
18	480C			30,64	58,21	79,19	0,182	0,346	0,471	−74,7	−31,9	81,2	203
19	484			25,67	56,42	59,80	0,180	0,397	0,421	−73,6	−14,0	74,9	190
20	492			22,50	56,65	38,03	0,192	0,483	0,324	−71,0	7,9	71,4	173
21	503			21,56	57,40	24,28	0,208	0,555	0,235	−67,9	22,2	71,5	161
22	512			22,19	58,45	18,53	0,223	0,589	0,186	−65,7	28,9	71,8	156
23	521G			24,28	60,61	13,79	0,246	0,614	0,139	−62,6	35,3	71,9	150
24	531			29,00	64,47	10,07	0,280	0,622	0,097	−57,0	42,2	70,9	143
25	541			41,39	73,93	10,07	0,330	0,589	0,080	−45,8	49,9	67,7	132
26	563			83,41	92,59	5,28	0,460	0,510	0,029	19,4	69,8	72,5	74
27	564			83,37	91,09	3,82	0,467	0,510	0,021	22,8	70,0	73,7	71
28	565			83,35	89,31	2,74	0,475	0,509	0,015	26,5	69,7	74,6	69
29	565			83,35	89,31	2,74	0,475	0,509	0,015	26,5	69,7	74,6	69
30	568			82,96	82,07	0,96	0,499	0,494	0,005	39,9	65,6	76,8	58
31	571			81,93	75,58	0,44	0,518	0,478	0,002	49,8	60,8	78,6	50
32	573Y			81,03	71,82	0,27	0,529	0,469	0,001	54,8	58,0	79,8	46
33	577			78,31	63,62	0,08	0,551	0,447	0,000	63,7	51,5	82,0	38
34	581			74,28	54,89	0,01	0,575	0,424	0,000	70,6	44,5	83,5	32
35	581			74,28	54,89	0,01	0,575	0,424	0,000	70,6	44,5	83,5	32
36	587R			68,81	46,05	0,00	0,599	0,400	0,000	74,3	37,3	83,2	26
37	589			67,60	44,04	0,93	0,600	0,391	0,008	74,8	34,8	82,5	24
38	692			70,96	43,57	21,37	0,522	0,320	0,157	73,7	13,9	75,0	10
39	697			74,12	43,34	43,14	0,461	0,269	0,268	71,0	−7,9	71,4	−6
U=D50				**96,63**	**100,00**	**81,17**	**0,347**	**0,359**	**0,359**	**0,0**	**0,0**	**0,0**	**0**

$a=p_{an}=n_a p_a$=2,8[(1,000x−0,171+0,000z)/y] $A_{nu}=(a-a_u)\,Y$ $C_{ABnu}=[A^2_{nu}+B^2_{nu}]^{1/2}$
$b=p_{bn}=n_b p_b$=−1,0[(0,000x+0,000+1,000z)/y] $B_{nu}=(b-b_u)\,Y$ h_{ABnu}=atan[B_{nu}/A_{nu}]

DE720−7N

CIE10 tristimulus values, chromatic values, and putities (n_a=2,8, n_b=−1,0).
Normalized *Ostwald (O)* tristimulus values (Y_w=100), ordered by hue angle.

no.	*O*	*C*	λ_n	*Y*	p_{an}	p_{bn}	p_{rn}	h_{abn}	p_{anu}	p_{bnu}	p_{rnu}	h_{abnu}
00	692			43,57	3,06	−0,49	3,10	350	1,69	0,32	1,72	370
01	697			43,34	3,01	−0,99	3,17	341	1,63	−0,18	1,64	353
02	708			42,59	2,97	−1,33	3,25	335	1,59	−0,52	1,68	341
03	717			41,54	2,95	−1,50	3,32	332	1,58	−0,69	1,73	336
04	726			39,38	2,96	−1,71	3,42	330	1,59	−0,89	1,82	330
05	736M			35,52	2,98	−2,00	3,59	326	1,60	−1,18	1,99	323
06	376			26,06	3,13	−2,72	4,15	318	1,76	−1,91	2,60	312
07	458			7,40	−1,24	−10,25	10,32	263	−2,61	−9,44	9,79	254
08	460			8,89	−1,18	−8,68	8,76	262	−2,55	−7,87	8,28	252
09	462			10,68	−1,10	−7,34	7,42	261	−2,48	−6,53	6,98	249
10	462			10,68	−1,10	−7,34	7,42	261	−2,48	−6,53	6,98	249
11	468			17,92	−0,85	−4,47	4,55	259	−2,22	−3,66	4,28	238
12	471B			24,41	−0,66	−3,30	3,37	258	−2,03	−2,49	3,22	230
13	473			28,17	−0,56	−2,87	2,92	258	−1,94	−2,06	2,83	226
14	475			36,37	−0,37	−2,22	2,26	260	−1,75	−1,41	2,25	218
15	477			45,10	−0,19	−1,79	1,80	263	−1,56	−0,98	1,85	212
16	477			45,10	−0,19	−1,79	1,80	263	−1,56	−0,98	1,85	212
17	479			53,94	−0,00	−1,50	1,50	269	−1,37	−0,69	1,54	206
18	480C			58,21	0,09	−1,36	1,36	273	−1,28	−0,54	1,39	203
19	484			56,42	0,06	−1,05	1,06	273	−1,30	−0,24	1,32	190
20	492			56,65	0,12	−0,67	0,68	280	−1,25	0,14	1,26	173
21	503			57,40	0,19	−0,42	0,46	294	−1,18	0,38	1,24	161
22	512			58,45	0,25	−0,31	0,40	308	−1,12	0,49	1,22	156
23	521G			60,61	0,34	−0,22	0,41	326	−1,03	0,58	1,18	150
24	531			64,47	0,49	−0,15	0,51	342	−0,88	0,65	1,10	143
25	541			73,93	0,75	−0,13	0,76	349	−0,61	0,67	0,91	132
26	563			92,59	1,58	−0,05	1,58	357	0,20	0,75	0,78	74
27	564			91,09	1,62	−0,04	1,62	358	0,25	0,76	0,80	71
28	565			89,31	1,67	−0,03	1,67	358	0,29	0,78	0,83	69
29	565			89,31	1,67	−0,03	1,67	358	0,29	0,78	0,83	69
30	568			82,07	1,86	−0,01	1,86	359	0,48	0,79	0,93	58
31	571			75,58	2,03	−0,00	2,03	359	0,65	0,80	1,04	50
32	573Y			71,82	2,13	−0,00	2,13	359	0,76	0,80	1,11	46
33	577			63,62	2,37	−0,00	2,37	359	1,00	0,81	1,28	38
34	581			54,89	2,66	−0,00	2,66	359	1,28	0,81	1,52	32
35	581			54,89	2,66	−0,00	2,66	359	1,28	0,81	1,52	32
36	587R			46,05	2,98	0,00	2,98	0	1,61	0,81	1,80	26
37	589			44,04	3,07	−0,02	3,07	0	1,69	0,79	1,87	24
38	692			43,57	3,06	−0,49	3,10	−9	1,69	0,32	1,72	10
39	697			43,34	3,01	−0,99	3,17	−18	1,63	−0,18	1,64	−6
U=D50				**100,00**	**1,375**	**−0,811**	**1,596**	**329**	**0,0**	**0,0**	**0,0**	**0**

$a=p_{an}=n_a p_a$=2,8[(1,000x−0,171+0,000z)/y] $A_{nu}=(a-a_u)\,Y$ $C_{ABnu}=[A^2_{nu}+B^2_{nu}]^{1/2}$
$b=p_{bn}=n_b p_b$=−1,0[(0,000x+0,000+1,000z)/y] $B_{nu}=(b-b_u)\,Y$ h_{ABnu}=atan[B_{nu}/A_{nu}]

DE720−8N

DE720−7R_pchartl=2_xcolorl=1(CIE10)

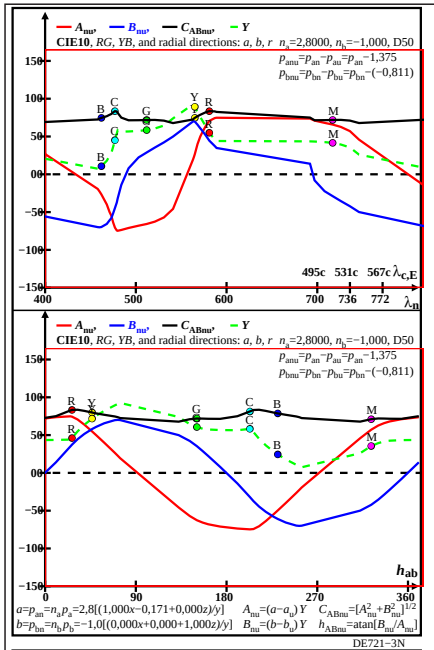

DE721−3N

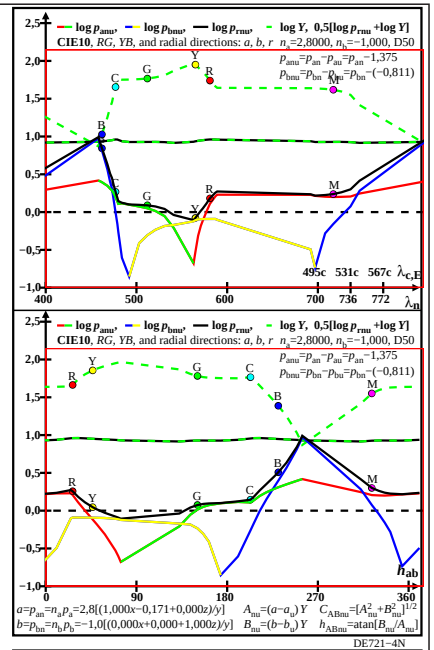

DE721−4N

X_w=96,63, Y_w=100,00, Z_w=81,17
x_w=0,3478 y_w=0,3599 z_w=0,2921
$a'_{2,nu}=(a_2-a_{2,u})\,Y_{18}\,[Y/Y_{18}]^{1/3}$
$b'_{2,nu}=(b_2-b_{2,u})\,Y_{18}\,[Y/Y_{18}]^{1/3}$
$a_2=n_a[(1,000x-0,171+0,000z)/y]$
$b_2=n_b[(0,000x+0,000+1,000z)/y]$
n_a = 2,80, n_b = −1,00
n = D50

$\lambda_{B,G,Y,R}$=475,503,574,494c,E nm
Ostwald colours (o), Y_w=100,00
max (m) chromatic value, D50
purity ($a_{2,10}$, $b_{2,10}$)$Y_{18}[Y/Y_{18}]^{1/3}$

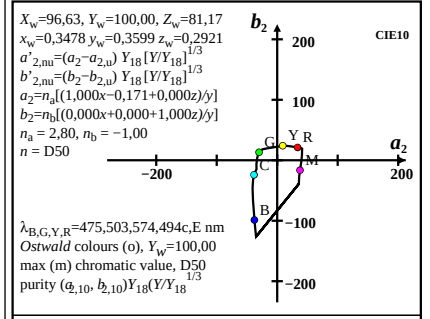

DE721−7N

X_w=96,63, Y_w=100,00, Z_w=81,17
x_w=0,3478 y_w=0,3599 z_w=0,2921
$A_2=(a_2-a_{2,u})\,Y/[Y/Y_{18}]^{1/3}$
$B_2=(b_2-b_{2,u})\,Y/[Y/Y_{18}]^{1/3}$
$a_2=n_a[(1,000x-0,171+0,000z)/y]$
$b_2=n_b[(0,000x+0,000+1,000z)/y]$
n_a = 2,80, n_b = −1,00
n = D50

$\lambda_{B,G,Y,R}$=475,503,574,494c,E nm
Ostwald colours (o), Y_w=100,00
max (m) chromatic value, D50
chroma ($A^*_{2,10}$, $B^*_{2,10}$)

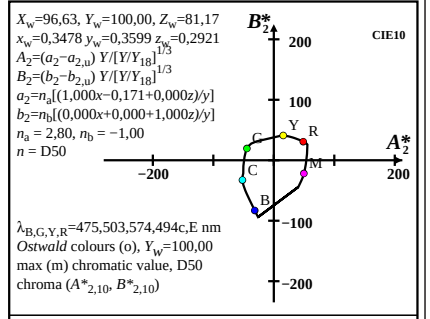

DE721−8N

DE721−7R_pchartl=2_xcolorl=1(CIE10)

CIEF02 tristimulus values, chromatic values, and putities (n_a=2,8, n_b=−1,0).
Normalized *Ostwald (O)* tristimulus values (Y_w=100), odered by wavelength.

no.	*O*	*C*	tristimulus values and chromaticities						*nu*-chromatic values			
		λ_n	*X*	*Y*	*Z*	*x*	*y*	*z*	A_{nu}	B_{nu}	C_{ABnu}	h_{ABnu}
00	386		51,50	23,94	74,68	0,343	0,159	0,497	39,6	−55,0	67,7	305
01	460		12,38	6,54	76,19	0,130	0,068	0,801	−19,8	−70,8	73,5	254
02	465		12,41	9,58	78,25	0,123	0,095	0,780	−26,3	−70,3	75,1	249
03	467		12,45	11,64	78,87	0,120	0,113	0,766	−30,3	−69,3	75,6	246
04	473B		13,31	20,43	79,83	0,117	0,179	0,702	−45,0	−63,0	77,4	234
05	475		14,02	24,19	79,97	0,118	0,204	0,676	−50,3	−60,0	78,4	230
06	479		17,82	36,91	80,16	0,132	0,273	0,594	−65,1	−49,8	81,9	217
07	479		17,82	36,91	80,16	0,132	0,273	0,594	−65,1	−49,8	81,9	217
08	481		21,98	46,03	80,19	0,148	0,310	0,541	−72,3	−42,3	83,8	210
09	481		21,98	46,03	80,19	0,148	0,310	0,541	−72,3	−42,3	83,8	210
10	483C		27,52	55,03	80,21	0,169	0,338	0,492	−76,0	−34,9	83,7	204
11	484		28,85	57,21	79,07	0,174	0,346	0,478	−76,4	−32,0	82,8	202
12	489		25,36	57,41	57,70	0,180	0,408	0,410	−74,6	−10,5	75,4	188
13	497		22,33	57,50	36,81	0,191	0,492	0,315	−71,8	10,4	72,6	171
14	505		21,31	58,03	24,30	0,205	0,559	0,234	−69,2	23,3	73,0	161
15	512		21,41	58,69	18,79	0,216	0,593	0,190	−67,5	29,4	73,7	156
16	521G		22,42	59,91	14,10	0,232	0,621	0,146	−65,2	35,1	74,1	151
17	524		25,32	62,97	14,10	0,247	0,615	0,137	−64,1	37,6	74,3	149
18	539		30,29	66,55	7,57	0,290	0,637	0,072	−56,0	47,1	73,2	139
19	551		44,95	76,05	5,53	0,355	0,601	0,043	−38,6	56,9	68,8	124
20	568		84,08	93,45	4,02	0,463	0,514	0,022	20,8	72,7	75,7	74
21	568		84,08	93,45	4,02	0,463	0,514	0,022	20,8	72,7	75,7	74
22	569		84,05	90,41	1,96	0,476	0,512	0,011	27,3	72,3	77,3	69
23	570Y		84,00	88,35	1,33	0,483	0,508	0,007	31,3	71,2	77,8	66
24	573		83,15	79,56	0,38	0,509	0,487	0,002	46,0	65,0	79,6	54
25	575		82,44	75,80	0,24	0,520	0,478	0,001	51,3	62,0	80,5	50
26	580		78,64	63,07	0,05	0,554	0,444	0,000	66,1	51,7	84,0	38
27	580		78,64	63,07	0,05	0,554	0,444	0,000	66,1	51,7	84,0	38
28	585		74,48	53,96	0,02	0,579	0,420	0,000	73,3	44,3	85,6	31
29	590R		68,94	44,96	0,00	0,605	0,394	0,000	77,0	36,9	85,4	25
30	592		67,61	42,78	1,14	0,606	0,383	0,010	77,4	34,0	84,6	23
31	694		71,10	42,58	22,52	0,522	0,312	0,165	75,6	12,4	76,7	9
32	702		74,12	42,49	43,40	0,463	0,265	0,271	72,8	−8,4	73,3	353
33	710		75,15	41,96	55,91	0,434	0,242	0,323	70,2	−21,4	73,4	343
34	717		75,05	41,30	61,43	0,422	0,232	0,345	68,5	−27,4	73,8	338
35	726M		74,04	40,08	66,11	0,410	0,222	0,366	66,2	−33,1	74,0	333
36	729		71,14	37,02	66,11	0,408	0,212	0,379	65,1	−35,6	74,3	331
37	744		66,16	33,43	72,64	0,384	0,194	0,421	57,0	−45,1	72,7	321
38	756		51,50	23,94	74,68	0,343	0,159	0,497	39,6	−55,0	67,7	305
39	825		12,38	6,54	76,19	0,130	0,068	0,801	−19,8	−70,8	73,5	254
U=D50			**96,46**	**100,00**	**82,22**	**0,346**	**0,358**	**0,358**	**0,0**	**0,0**	**0,0**	**0**

$a=p_{anu}=n_a p_a=2{,}8[(1{,}000x-0{,}171+0{,}000z)/y]$ $A_{nu}=(a-a_u)\,Y$ $C_{ABnu}=[A^2_{nu}+B^2_{nu}]^{1/2}$
$b=p_{bnu}=n_b p_b=-1{,}0[(0{,}000x+0{,}000+1{,}000z)/y]$ $B_{nu}=(b-b_u)\,Y$ $h_{ABnu}=\mathrm{atan}[B_{nu}/A_{nu}]$

DE720−3N

CIEF02 tristimulus values, chromatic values, and putities (n_a=2,8, n_b=−1,0).
Normalized *Ostwald (O)* tristimulus values (Y_w=100), odered by wavelength.

no.	*O*	*C*	*n*-purities					*nu*-purities			
		λ_n	*Y*	p_{an}	p_{bn}	p_{rn}	h_{abn}	p_{anu}	p_{bnu}	p_{rnu}	h_{abnu}
00	386		23,94	3,02	−3,11	4,34	314	1,65	−2,29	2,83	305
01	460		6,54	−1,66	−11,64	11,76	261	−3,02	−10,82	11,24	254
02	465		9,58	−1,38	−8,16	8,28	260	−2,74	−7,34	7,84	249
03	467		11,64	−1,24	−6,77	6,88	259	−2,60	−5,95	6,50	246
04	473B		20,43	−0,83	−3,90	3,99	257	−2,20	−3,08	3,79	234
05	475		24,19	−0,71	−3,30	3,38	257	−2,08	−2,48	3,24	230
06	479		36,91	−0,39	−2,17	2,20	259	−1,76	−1,34	2,22	217
07	479		36,91	−0,39	−2,17	2,20	259	−1,76	−1,34	2,22	217
08	481		46,03	−0,20	−1,74	1,75	263	−1,57	−0,92	1,82	210
09	481		46,03	−0,20	−1,74	1,75	263	−1,57	−0,92	1,82	210
10	483C		55,03	−0,01	−1,45	1,45	269	−1,38	−0,63	1,52	204
11	484		57,21	0,02	−1,38	1,38	271	−1,33	−0,56	1,44	202
12	489		57,41	0,06	−1,00	1,00	273	−1,30	−0,18	1,31	188
13	497		57,50	0,11	−0,64	0,65	280	−1,25	0,18	1,26	171
14	505		58,03	0,17	−0,41	0,45	292	−1,19	0,40	1,25	161
15	512		58,69	0,21	−0,32	0,38	303	−1,15	0,50	1,25	156
16	521G		59,91	0,27	−0,23	0,36	319	−1,08	0,58	1,23	151
17	524		62,97	0,34	−0,22	0,41	327	−1,01	0,59	1,18	149
18	539		66,55	0,52	−0,11	0,53	347	−0,84	0,70	1,10	139
19	551		76,05	0,85	−0,07	0,86	355	−0,50	0,74	0,90	124
20	568		93,45	1,58	−0,04	1,58	358	0,22	0,77	0,81	74
21	568		93,45	1,58	−0,04	1,58	358	0,22	0,77	0,81	74
22	569		90,41	1,66	−0,02	1,66	359	0,30	0,80	0,85	69
23	570Y		88,35	1,72	−0,01	1,72	359	0,35	0,80	0,88	66
24	573		79,56	1,94	−0,00	1,94	359	0,57	0,81	1,00	54
25	575		75,80	2,04	−0,00	2,04	359	0,67	0,81	1,06	50
26	580		63,07	2,41	−0,00	2,41	359	1,04	0,82	1,33	38
27	580		63,07	2,41	−0,00	2,41	359	1,04	0,82	1,33	38
28	585		53,96	2,72	−0,00	2,72	359	1,35	0,82	1,58	31
29	590R		44,96	3,08	0,00	3,08	0	1,71	0,82	1,90	25
30	592		42,78	3,17	−0,02	3,17	359	1,81	0,79	1,97	23
31	694		42,58	3,14	−0,52	3,18	350	1,77	0,29	1,80	9
32	702		42,49	3,08	−1,02	3,24	341	1,71	−0,19	1,72	353
33	710		41,96	3,04	−1,33	3,31	336	1,67	−0,51	1,75	343
34	717		41,30	3,02	−1,48	3,37	333	1,66	−0,66	1,78	338
35	726M		40,08	3,01	−1,64	3,44	331	1,65	−0,82	1,84	333
36	729		37,02	3,12	−1,78	3,60	330	1,76	−0,96	2,00	331
37	744		33,43	3,07	−2,17	3,76	324	1,70	−1,35	2,17	321
38	756		23,94	3,02	−3,11	4,34	314	1,65	−2,29	2,83	305
39	825		6,54	−1,66	−11,64	11,76	261	−3,02	−10,82	11,24	254
U=D50			**100,00**	**1,366**	**−0,821**	**1,594**	**328**	**0,0**	**0,0**	**0,0**	**0**

$a=p_{an}=n_a p_a=2{,}8[(1{,}000x-0{,}171+0{,}000z)/y]$ $A_{nu}=(a-a_u)\,Y$ $C_{ABnu}=[A^2_{nu}+B^2_{nu}]^{1/2}$
$b=p_{bn}=n_b p_b=-1{,}0[(0{,}000x+0{,}000+1{,}000z)/y]$ $B_{nu}=(b-b_u)\,Y$ $h_{ABnu}=\mathrm{atan}[B_{nu}/A_{nu}]$

DE720−4N

CIEF02 tristimulus values, chromatic values, and putities (n_a=2,8, n_b=−1,0).
Normalized *Ostwald (O)* tristimulus values (Y_w=100), odered by hue angle.

no.	*O*	*C*	tristimulus values and chromaticities						*nu*-chromatic values			
		λ_n	*X*	*Y*	*Z*	*x*	*y*	*z*	A_{nu}	B_{nu}	C_{ABnu}	h_{ABnu}
00	592		67,61	42,78	1,14	0,606	0,383	0,010	77,4	34,0	84,6	383
01	694		71,10	42,58	22,52	0,522	0,312	0,165	75,6	12,4	76,7	369
02	702		74,12	42,49	43,40	0,463	0,265	0,271	72,8	−8,4	73,3	353
03	710		75,15	41,96	55,91	0,434	0,242	0,323	70,2	−21,4	73,4	343
04	717		75,05	41,30	61,43	0,422	0,232	0,345	68,5	−27,4	73,8	338
05	726M		74,04	40,08	66,11	0,410	0,222	0,366	66,2	−33,1	74,0	333
06	729		71,14	37,02	66,11	0,408	0,212	0,379	65,1	−35,6	74,3	331
07	744		66,16	33,43	72,64	0,384	0,194	0,421	57,0	−45,1	72,7	321
08	386		51,50	23,94	74,68	0,343	0,159	0,497	39,6	−55,0	67,7	305
09	460		12,38	6,54	76,19	0,130	0,068	0,801	−19,8	−70,8	73,5	254
10	465		12,41	9,58	78,25	0,123	0,095	0,780	−26,3	−70,3	75,1	249
11	467		12,45	11,64	78,87	0,120	0,113	0,766	−30,3	−69,3	75,6	246
12	473B		13,31	20,43	79,83	0,117	0,179	0,702	−45,0	−63,0	77,4	234
13	475		14,02	24,19	79,97	0,118	0,204	0,676	−50,3	−60,0	78,4	230
14	479		17,82	36,91	80,16	0,132	0,273	0,594	−65,1	−49,8	81,9	217
15	479		17,82	36,91	80,16	0,132	0,273	0,594	−65,1	−49,8	81,9	217
16	481		21,98	46,03	80,19	0,148	0,310	0,541	−72,3	−42,3	83,8	210
17	481		21,98	46,03	80,19	0,148	0,310	0,541	−72,3	−42,3	83,8	210
18	483C		27,52	55,03	80,21	0,169	0,338	0,492	−76,0	−34,9	83,7	204
19	484		28,85	57,21	79,07	0,174	0,346	0,478	−76,4	−32,0	82,8	202
20	489		25,36	57,41	57,70	0,180	0,408	0,410	−74,6	−10,5	75,4	188
21	497		22,33	57,50	36,81	0,191	0,492	0,315	−71,8	10,4	72,6	171
22	505		21,31	58,03	24,30	0,205	0,559	0,234	−69,2	23,3	73,0	161
23	512G		21,41	58,69	18,79	0,216	0,593	0,190	−67,5	29,4	73,7	156
24	521		22,42	59,91	14,10	0,232	0,621	0,146	−65,2	35,1	74,1	151
25	524		25,32	62,97	14,10	0,247	0,615	0,137	−64,1	37,6	74,3	149
26	539		30,29	66,55	7,57	0,290	0,637	0,072	−56,0	47,1	73,2	139
27	551		44,95	76,05	5,53	0,355	0,601	0,043	−38,6	56,9	68,8	124
28	568		84,08	93,45	4,02	0,463	0,514	0,022	20,8	72,7	75,7	74
29	568		84,08	93,45	4,02	0,463	0,514	0,022	20,8	72,7	75,7	74
30	569		84,05	90,41	1,96	0,476	0,512	0,011	27,3	72,3	77,3	69
31	570		84,00	88,35	1,33	0,483	0,508	0,007	31,3	71,2	77,8	66
32	573Y		83,15	79,56	0,38	0,509	0,487	0,002	46,0	65,0	79,6	54
33	575		82,44	75,80	0,24	0,520	0,478	0,001	51,3	62,0	80,5	50
34	580		78,64	63,07	0,05	0,554	0,444	0,000	66,1	51,7	84,0	38
35	580		78,64	63,07	0,05	0,554	0,444	0,000	66,1	51,7	84,0	38
36	585R		74,48	53,96	0,02	0,579	0,420	0,000	73,3	44,3	85,6	31
37	590		68,94	44,96	0,00	0,605	0,394	0,000	77,0	36,9	85,4	25
38	592		67,61	42,78	1,14	0,606	0,383	0,010	77,4	34,0	84,6	23
39	694		71,10	42,58	22,52	0,522	0,312	0,165	75,6	12,4	76,7	9
U=D50			**96,46**	**100,00**	**82,22**	**0,346**	**0,358**	**0,358**	**0,0**	**0,0**	**0,0**	**0**

$a=p_{anu}=n_a p_a=2{,}8[(1{,}000x-0{,}171+0{,}000z)/y]$ $A_{nu}=(a-a_u)\,Y$ $C_{ABnu}=[A^2_{nu}+B^2_{nu}]^{1/2}$
$b=p_{bnu}=n_b p_b=-1{,}0[(0{,}000x+0{,}000+1{,}000z)/y]$ $B_{nu}=(b-b_u)\,Y$ $h_{ABnu}=\mathrm{atan}[B_{nu}/A_{nu}]$

DE720−7N

DE720−7R_pchart!=2_xcolorl=2(CIEF02)

CIEF02 tristimulus values, chromatic values, and putities (n_a=2,8, n_b=−1,0).
Normalized *Ostwald (O)* tristimulus values (Y_w=100), odered by hue angle.

no.	*O*	*C*	*n*-purities					*nu*-purities			
		λ_n	*Y*	p_{an}	p_{bn}	p_{rn}	h_{abn}	p_{anu}	p_{bnu}	p_{rnu}	h_{abnu}
00	592		42,78	3,17	−0,02	3,17	359	1,81	0,79	1,97	383
01	694		42,58	3,14	−0,52	3,18	350	1,77	0,29	1,80	369
02	702		42,49	3,08	−1,02	3,24	341	1,71	−0,19	1,72	353
03	710		41,96	3,04	−1,33	3,31	336	1,67	−0,51	1,75	343
04	717		41,30	3,02	−1,48	3,37	333	1,66	−0,66	1,78	338
05	726M		40,08	3,01	−1,64	3,44	331	1,65	−0,82	1,84	333
06	729		37,02	3,12	−1,78	3,60	330	1,76	−0,96	2,00	331
07	744		33,43	3,07	−2,17	3,76	324	1,70	−1,35	2,17	321
08	386		23,94	3,02	−3,11	4,34	314	1,65	−2,29	2,83	305
09	460		6,54	−1,66	−11,64	11,76	261	−3,02	−10,82	11,24	254
10	465		9,58	−1,38	−8,16	8,28	260	−2,74	−7,34	7,84	249
11	467		11,64	−1,24	−6,77	6,88	259	−2,60	−5,95	6,50	246
12	473B		20,43	−0,83	−3,90	3,99	257	−2,20	−3,08	3,79	234
13	475		24,19	−0,71	−3,30	3,38	257	−2,08	−2,48	3,24	230
14	479		36,91	−0,39	−2,17	2,20	259	−1,76	−1,34	2,22	217
15	479		36,91	−0,39	−2,17	2,20	259	−1,76	−1,34	2,22	217
16	481		46,03	−0,20	−1,74	1,75	263	−1,57	−0,92	1,82	210
17	481		46,03	−0,20	−1,74	1,75	263	−1,57	−0,92	1,82	210
18	483C		55,03	−0,01	−1,45	1,45	269	−1,38	−0,63	1,52	204
19	484		57,21	0,02	−1,38	1,38	271	−1,33	−0,56	1,44	202
20	489		57,41	0,06	−1,00	1,00	273	−1,30	−0,18	1,31	188
21	497		57,50	0,11	−0,64	0,65	280	−1,25	0,18	1,26	171
22	505		58,03	0,17	−0,41	0,45	292	−1,19	0,40	1,25	161
23	512G		58,69	0,21	−0,32	0,38	303	−1,15	0,50	1,25	156
24	521		59,91	0,27	−0,23	0,36	319	−1,08	0,58	1,23	151
25	524		62,97	0,34	−0,22	0,41	327	−1,01	0,59	1,18	149
26	539		66,55	0,52	−0,11	0,53	347	−0,84	0,70	1,10	139
27	551		76,05	0,85	−0,07	0,86	355	−0,50	0,74	0,90	124
28	568		93,45	1,58	−0,04	1,58	358	0,22	0,77	0,81	74
29	568		93,45	1,58	−0,04	1,58	358	0,22	0,77	0,81	74
30	569		90,41	1,66	−0,02	1,66	359	0,30	0,80	0,85	69
31	570		88,35	1,72	−0,01	1,72	359	0,35	0,80	0,88	66
32	573Y		79,56	1,94	−0,00	1,94	359	0,57	0,81	1,00	54
33	575		75,80	2,04	−0,00	2,04	359	0,67	0,81	1,06	50
34	580		63,07	2,41	−0,00	2,41	359	1,04	0,82	1,33	38
35	580		63,07	2,41	−0,00	2,41	359	1,04	0,82	1,33	38
36	585R		53,96	2,72	−0,00	2,72	359	1,35	0,82	1,58	31
37	590		44,96	3,08	0,00	3,08	0	1,71	0,82	1,90	25
38	592		42,78	3,17	−0,02	3,17	0	1,81	0,79	1,97	23
39	694		42,58	3,14	−0,52	3,18	−9	1,77	0,29	1,80	9
U=D50			**100,00**	**1,366**	**−0,821**	**1,594**	**328**	**0,0**	**0,0**	**0,0**	**0**

$a=p_{an}=n_a p_a=2{,}8[(1{,}000x-0{,}171+0{,}000z)/y]$ $A_{nu}=(a-a_u)\,Y$ $C_{ABnu}=[A^2_{nu}+B^2_{nu}]^{1/2}$
$b=p_{bn}=n_b p_b=-1{,}0[(0{,}000x+0{,}000+1{,}000z)/y]$ $B_{nu}=(b-b_u)\,Y$ $h_{ABnu}=\mathrm{atan}[B_{nu}/A_{nu}]$

DE720−8N

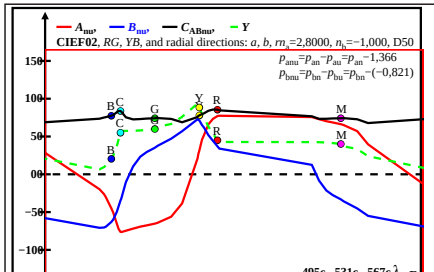

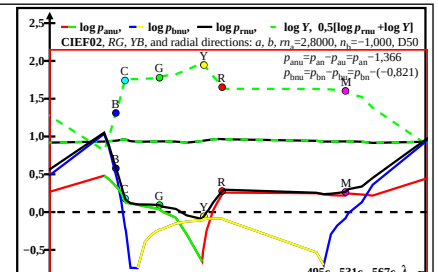

DE721−3N

DE721−4N

X_w=96,46, Y_w=100,00, Z_w=82,22
x_w=0,3461 y_w=0,3588 z_w=0,2950
$a'_{2,nu}=(a_2-a_{2,u})\,Y_{18}\,[Y/Y_{18}]^{1/3}$
$b'_{2,nu}=(b_2-b_{2,u})\,Y_{18}\,[Y/Y_{18}]^{1/3}$
$a_2=n_a[(1{,}000x-0{,}171+0{,}000z)/y]$
$b_2=n_b[(0{,}000x+0{,}000+1{,}000z)/y]$
n_a = 2,80, n_b = −1,00
n = D50

$\lambda_{B,G,Y,R}$=475,503,574,494c,E nm
Ostwald colours (o), Y_w=100,00
max (m) chromatic value, D50
purity (a_2, b_2)Y_{18} $(Y/Y_{18}^{1/3}$

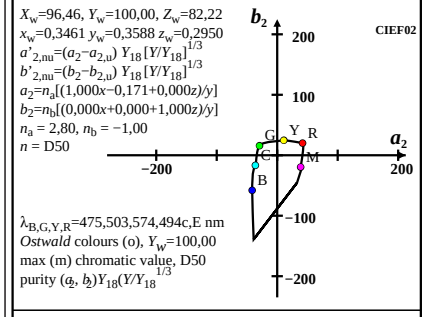

DE721−7N

X_w=96,46, Y_w=100,00, Z_w=82,22
x_w=0,3461 y_w=0,3588 z_w=0,2950
$A_2=(a_2-a_{2,u})\,Y/[Y/Y_{18}]^{1/3}$
$B_2=(b_2-b_{2,u})\,Y/[Y/Y_{18}]^{1/3}$
$a_2=n_a[(1{,}000x-0{,}171+0{,}000z)/y]$
$b_2=n_b[(0{,}000x+0{,}000+1{,}000z)/y]$
n_a = 2,80, n_b = −1,00
n = D50

$\lambda_{B,G,Y,R}$=475,503,574,494c,E nm
Ostwald colours (o), Y_w=100,00
max (m) chromatic value, D50
chroma (A^*_2, B^*_2)

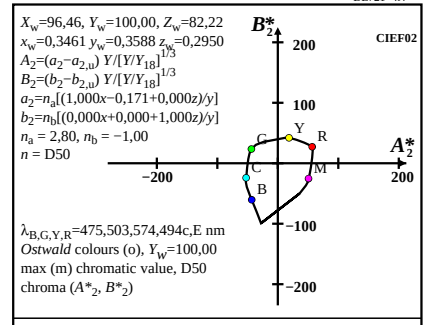

DE721−8N

X_w=96,46, Y_w=100,00, Z_w=82,22
x_w=0,3461 y_w=0,3588 z_w=0,2950
$a_2=(a_2-a_{2,u})\,Y$
$b_2=(b_2-b_{2,u})\,Y$
$a_2=n_a[(1{,}000x-0{,}171+0{,}000z)/y]$
$b_2=n_b[(0{,}000x+0{,}000+1{,}000z)/y]$
n_a = 2,80, n_b = −1,00
n = D50

$\lambda_{B,G,Y,R}$=475,503,574,494c,E nm
Ostwald colours (o), Y_w=100,00
max (m) chromatic value, D50
chromatic value (A_2, B_2)

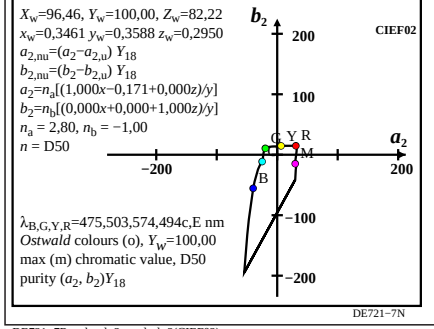

DE721−7R_pchartl=2_xcolorl=2(CIEF02)

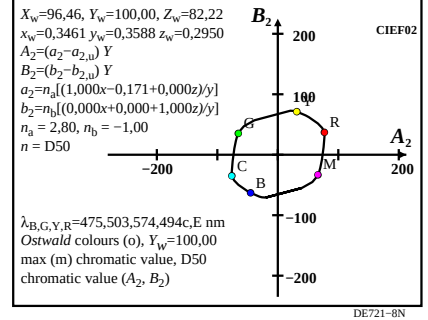

DE721−8N

CIEF10 tristimulus values, chromatic values, and putities (n_a=2,8, n_b=−1,0).
Normalized *Ostwald (O)* tristimulus values (Y_w=100), ordered by wavelength.

no.	*O*	*C*	tristimulus values and chromaticities						*nu*-chromatic values			
	λ_n		*X*	*Y*	*Z*	*x*	*y*	*z*	A_{nu}	B_{nu}	C_{ABnu}	h_{ABnu}
00	380		52,92	25,78	74,65	0,345	0,168	0,486	39,2	−53,7	66,5	306
01	455		13,14	6,61	74,65	0,139	0,070	0,790	−17,5	−69,2	71,4	255
02	460		13,28	9,49	77,94	0,131	0,094	0,773	−24,1	−70,2	74,2	251
03	462		13,30	11,32	78,97	0,128	0,109	0,762	−27,9	−69,7	75,1	248
04	464B		13,34	13,45	79,69	0,125	0,126	0,748	−32,1	−68,7	75,9	244
05	468		13,69	18,67	80,47	0,121	0,165	0,713	−41,4	−65,3	77,3	237
06	471		14,73	25,21	80,80	0,121	0,208	0,669	−51,3	−60,3	79,2	229
07	472		15,63	28,96	80,89	0,124	0,230	0,644	−56,2	−57,4	80,3	225
08	475		18,33	37,06	80,98	0,134	0,271	0,593	−65,0	−50,9	82,6	218
09	477		22,39	45,70	81,01	0,150	0,306	0,543	−71,6	−43,9	84,1	211
10	477C		24,94	50,08	81,01	0,159	0,320	0,519	−73,9	−40,4	84,2	208
11	479		30,58	58,60	78,68	0,182	0,349	0,468	−75,5	−31,2	81,7	202
12	479		29,07	56,38	80,12	0,175	0,340	0,483	−75,5	−34,4	83,0	204
13	484		25,63	56,72	59,32	0,180	0,400	0,418	−74,2	−13,3	75,4	190
14	492		22,37	56,85	36,73	0,192	0,490	0,316	−71,2	9,3	71,8	172
15	503		21,57	57,63	22,95	0,211	0,564	0,224	−67,9	23,7	71,9	160
16	511G		22,30	58,68	17,25	0,227	0,597	0,175	−65,4	30,2	72,1	155
17	521		24,56	60,88	12,62	0,250	0,620	0,128	−62,0	36,6	72,1	149
18	532		29,89	65,12	9,04	0,287	0,625	0,086	−55,9	43,7	70,9	141
19	545		43,82	74,21	6,37	0,352	0,596	0,051	−39,1	53,7	66,5	126
20	563		83,59	93,38	6,37	0,455	0,509	0,034	17,5	69,2	71,4	75
21	564		83,45	90,50	3,08	0,471	0,511	0,017	24,1	70,2	74,2	71
22	565		83,43	88,67	2,06	0,479	0,509	0,011	27,9	69,7	75,1	68
23	566Y		83,39	86,54	1,34	0,486	0,505	0,007	32,2	68,7	75,9	64
24	568		83,04	81,32	0,56	0,503	0,493	0,003	41,4	65,3	77,3	57
25	571		82,00	74,78	0,23	0,522	0,476	0,001	51,3	60,3	79,2	49
26	573		81,10	71,03	0,14	0,532	0,466	0,000	56,2	57,3	80,3	45
27	577		78,40	62,93	0,05	0,554	0,445	0,000	65,0	50,9	82,6	38
28	581		74,33	54,29	0,02	0,577	0,421	0,000	71,7	43,9	84,1	31
29	584R		71,79	49,91	0,01	0,589	0,410	0,000	73,9	40,4	84,2	28
30	591		66,15	41,39	2,33	0,602	0,376	0,021	75,5	31,1	81,7	22
31	588		67,67	43,61	0,91	0,603	0,388	0,008	75,6	34,4	83,1	24
32	689		71,10	43,27	21,71	0,522	0,317	0,159	74,2	13,3	75,4	10
33	697		74,36	43,14	44,30	0,459	0,266	0,273	71,2	−9,3	71,8	352
34	708		75,16	42,36	58,08	0,428	0,241	0,330	67,9	−23,7	72,0	340
35	716M		74,43	41,31	63,78	0,414	0,230	0,355	65,5	−30,3	72,1	335
36	726		72,17	39,11	68,41	0,401	0,217	0,380	62,1	−36,7	72,1	329
37	737		66,83	34,86	71,99	0,384	0,200	0,414	55,9	−43,7	71,0	321
38	750		52,92	25,78	74,65	0,345	0,168	0,486	39,2	−53,7	66,5	306
39	820		13,14	6,61	74,65	0,139	0,070	0,790	−17,5	−69,2	71,4	255
U=D50			**96,74**	**100,00**	**81,03**	**0,348**	**0,360**	**0,360**	**0,0**	**0,0**	**0,0**	**0**

$a=p_{an}=n_a p_a$=2,8[(1,000x−0,171+0,000z)/y] $A_{nu}=(a-a_u)\,Y$ $C_{ABnu}=[A^2_{nu}+B^2_{nu}]^{1/2}$
$b=p_{bn}=n_b p_b$=−1,0[(0,000x+0,000+1,000z)/y] $B_{nu}=(b-b_u)\,Y$ h_{ABnu}=atan[B_{nu}/A_{nu}]

DE720−3N

CIEF10 tristimulus values, chromatic values, and putities (n_a=2,8, n_b=−1,0).
Normalized *Ostwald (O)* tristimulus values (Y_w=100), ordered by wavelength.

no.	*O*	*C*	*n*-purities					*nu*-purities			
	λ_n		*Y*	p_{an}	p_{bn}	p_{rn}	h_{abn}	p_{anu}	p_{bnu}	p_{rnu}	h_{abnu}
00	380		25,78	2,89	−2,89	4,09	315	1,52	−2,08	2,58	306
01	455		6,61	−1,27	−11,29	11,36	263	−2,65	−10,48	10,81	255
02	460		9,49	−1,16	−8,21	8,29	261	−2,54	−7,40	7,82	251
03	462		11,32	−1,09	−6,97	7,06	261	−2,47	−6,16	6,64	248
04	464B		13,45	−1,01	−5,92	6,01	260	−2,39	−5,11	5,64	244
05	468		18,67	−0,84	−4,31	4,39	258	−2,21	−3,50	4,14	237
06	471		25,21	−0,65	−3,20	3,27	258	−2,03	−2,39	3,14	229
07	472		28,96	−0,56	−2,79	2,84	258	−1,94	−1,98	2,77	225
08	475		37,06	−0,37	−2,18	2,21	260	−1,75	−1,37	2,22	218
09	477		45,70	−0,19	−1,77	1,78	263	−1,56	−0,96	1,84	211
10	477C		50,08	−0,09	−1,61	1,62	266	−1,47	−0,80	1,68	208
11	479		58,60	0,08	−1,34	1,34	273	−1,28	−0,53	1,39	202
12	479		56,38	0,03	−1,42	1,42	271	−1,34	−0,61	1,47	204
13	484		56,72	0,06	−1,04	1,04	273	−1,30	−0,23	1,33	190
14	492		56,85	0,12	−0,64	0,65	280	−1,25	0,16	1,26	172
15	503		57,63	0,19	−0,39	0,44	296	−1,17	0,41	1,24	160
16	511G		58,68	0,26	−0,29	0,39	311	−1,11	0,51	1,22	155
17	521		60,88	0,35	−0,20	0,41	329	−1,02	0,60	1,18	149
18	532		65,12	0,52	−0,13	0,53	345	−0,85	0,67	1,08	141
19	545		74,21	0,85	−0,08	0,85	354	−0,52	0,72	0,89	126
20	563		93,38	1,56	−0,06	1,56	357	0,18	0,74	0,76	75
21	564		90,50	1,64	−0,03	1,64	358	0,26	0,77	0,82	71
22	565		88,67	1,69	−0,02	1,69	359	0,31	0,78	0,84	68
23	566Y		86,54	1,75	−0,01	1,75	359	0,37	0,79	0,87	64
24	568		81,32	1,88	−0,00	1,88	359	0,50	0,80	0,95	57
25	571		74,78	2,06	−0,00	2,06	359	0,68	0,80	1,05	49
26	573		71,03	2,17	−0,00	2,17	359	0,79	0,80	1,13	45
27	577		62,93	2,41	−0,00	2,41	359	1,03	0,80	1,31	38
28	581		54,29	2,69	−0,00	2,69	359	1,32	0,80	1,54	31
29	584R		49,91	2,85	−0,00	2,85	359	1,48	0,80	1,68	28
30	591		41,39	3,20	−0,05	3,20	358	1,82	0,75	1,97	22
31	588		43,61	3,11	−0,02	3,11	359	1,73	0,78	1,90	24
32	689		43,27	3,09	−0,50	3,13	350	1,71	0,30	1,74	10
33	697		43,14	3,03	−1,02	3,19	341	1,65	−0,21	1,66	352
34	708		42,36	2,98	−1,37	3,28	335	1,60	−0,56	1,70	340
35	716M		41,31	2,96	−1,54	3,34	332	1,58	−0,73	1,74	335
36	726		39,11	2,96	−1,74	3,44	329	1,58	−0,93	1,84	329
37	737		34,86	2,98	−2,06	3,62	325	1,60	−1,25	2,03	321
38	750		25,78	2,89	−2,89	4,09	315	1,52	−2,08	2,58	306
39	820		6,61	−1,27	−11,29	11,36	263	−2,65	−10,48	10,81	255
U=D50			**100,00**	**1,378**	**−0,810**	**1,598**	**329**	**0,0**	**0,0**	**0,0**	**0**

$a=p_{an}=n_a p_a$=2,8[(1,000x−0,171+0,000z)/y] $A_{nu}=(a-a_u)\,Y$ $C_{ABnu}=[A^2_{nu}+B^2_{nu}]^{1/2}$
$b=p_{bn}=n_b p_b$=−1,0[(0,000x+0,000+1,000z)/y] $B_{nu}=(b-b_u)\,Y$ h_{ABnu}=atan[B_{nu}/A_{nu}]

DE720−4N

CIEF10 tristimulus values, chromatic values, and putities (n_a=2,8, n_b=−1,0).
Normalized *Ostwald (O)* tristimulus values (Y_w=100), odered by hue angle.

no.	*O*	*C*	tristimulus values and chromaticities						*nu*-chromatic values			
	λ_n		*X*	*Y*	*Z*	*x*	*y*	*z*	A_{nu}	B_{nu}	C_{ABnu}	h_{ABnu}
00	588		67,67	43,61	0,91	0,603	0,388	0,008	75,6	34,4	83,1	384
01	689		71,10	43,27	21,71	0,522	0,317	0,159	74,2	13,3	75,4	370
02	697		74,36	43,14	44,30	0,459	0,266	0,273	71,2	−9,3	71,8	352
03	708		75,16	42,36	58,08	0,428	0,241	0,330	67,9	−23,7	72,0	340
04	716		74,43	41,31	63,78	0,414	0,230	0,355	65,5	−30,3	72,1	335
05	726M		72,17	39,11	68,41	0,401	0,217	0,380	62,1	−36,7	72,1	329
06	737		66,83	34,86	71,99	0,384	0,200	0,414	55,9	−43,7	71,0	321
07	380		52,92	25,78	74,65	0,345	0,168	0,486	39,2	−53,7	66,5	306
08	455		13,14	6,61	74,65	0,139	0,070	0,790	−17,5	−69,2	71,4	255
09	460		13,28	9,49	77,94	0,131	0,094	0,773	−24,1	−70,2	74,2	251
10	462		13,30	11,32	78,97	0,128	0,109	0,762	−27,9	−69,7	75,1	248
11	464		13,34	13,45	79,69	0,125	0,126	0,748	−32,1	−68,7	75,9	244
12	468B		13,69	18,67	80,47	0,121	0,165	0,713	−41,4	−65,3	77,3	237
13	471		14,73	25,21	80,80	0,121	0,208	0,669	−51,3	−60,3	79,2	229
14	472		15,63	28,96	80,89	0,124	0,230	0,644	−56,2	−57,4	80,3	225
15	475		18,33	37,06	80,98	0,134	0,271	0,593	−65,0	−50,9	82,6	218
16	477		22,39	45,70	81,01	0,150	0,306	0,543	−71,6	−43,9	84,1	211
17	477		24,94	50,08	81,01	0,159	0,320	0,519	−73,9	−40,4	84,2	208
18	479C		30,58	58,60	78,68	0,182	0,349	0,468	−75,5	−31,2	81,7	202
19	479		29,07	56,38	80,12	0,175	0,340	0,483	−75,5	−34,4	83,0	204
20	484		25,63	56,72	59,32	0,180	0,400	0,418	−74,2	−13,3	75,4	190
21	492		22,37	56,85	36,73	0,192	0,490	0,316	−71,2	9,3	71,8	172
22	503		21,57	57,63	22,95	0,211	0,564	0,224	−67,9	23,7	71,9	160
23	511G		22,30	58,68	17,25	0,227	0,597	0,175	−65,4	30,2	72,1	155
24	521		24,56	60,88	12,62	0,250	0,620	0,128	−62,0	36,6	72,1	149
25	532		29,89	65,12	9,04	0,287	0,625	0,086	−55,9	43,7	70,9	141
26	545		43,82	74,21	6,37	0,352	0,596	0,051	−39,1	53,7	66,5	126
27	563		83,59	93,38	6,37	0,455	0,509	0,034	17,5	69,2	71,4	75
28	564		83,45	90,50	3,08	0,471	0,511	0,017	24,1	70,2	74,2	71
29	565		83,43	88,67	2,06	0,479	0,509	0,011	27,9	69,7	75,1	68
30	566		83,39	86,54	1,34	0,486	0,505	0,007	32,2	68,7	75,9	64
31	568		83,04	81,32	0,56	0,503	0,493	0,003	41,4	65,3	77,3	57
32	571Y		82,00	74,78	0,23	0,522	0,476	0,001	51,3	60,3	79,2	49
33	573		81,10	71,03	0,14	0,532	0,466	0,000	56,2	57,3	80,3	45
34	577		78,40	62,93	0,05	0,554	0,445	0,000	65,0	50,9	82,6	38
35	581		74,33	54,29	0,02	0,577	0,421	0,000	71,7	43,9	84,1	31
36	584R		71,79	49,91	0,01	0,589	0,410	0,000	73,9	40,4	84,2	28
37	591		66,15	41,39	2,33	0,602	0,376	0,021	75,5	31,1	81,7	22
38	588		67,67	43,61	0,91	0,603	0,388	0,008	75,6	34,4	83,1	24
39	689		71,10	43,27	21,71	0,522	0,317	0,159	74,2	13,3	75,4	10
U=D50			**96,74**	**100,00**	**81,03**	**0,348**	**0,360**	**0,360**	**0,0**	**0,0**	**0,0**	**0**

$a=p_{an}=n_a p_a$=2,8[(1,000x−0,171+0,000z)/y] $A_{nu}=(a-a_u)\,Y$ $C_{ABnu}=[A^2_{nu}+B^2_{nu}]^{1/2}$
$b=p_{bn}=n_b p_b$=−1,0[(0,000x+0,000+1,000z)/y] $B_{nu}=(b-b_u)\,Y$ h_{ABnu}=atan[B_{nu}/A_{nu}]

DE720−7N

CIEF10 tristimulus values, chromatic values, and putities (n_a=2,8, n_b=−1,0).
Normalized *Ostwald (O)* tristimulus values (Y_w=100), odered by hue angle.

no.	*O*	*C*	*n*-purities					*nu*-purities			
	λ_n		*Y*	p_{an}	p_{bn}	p_{rn}	h_{abn}	p_{anu}	p_{bnu}	p_{rnu}	h_{abnu}
00	588		43,61	3,11	−0,02	3,11	359	1,73	0,78	1,90	384
01	689		43,27	3,09	−0,50	3,13	350	1,71	0,30	1,74	370
02	697		43,14	3,03	−1,02	3,19	341	1,65	−0,21	1,66	352
03	708		42,36	2,98	−1,37	3,28	335	1,60	−0,56	1,70	340
04	716		41,31	2,96	−1,54	3,34	332	1,58	−0,73	1,74	335
05	726M		39,11	2,96	−1,74	3,44	329	1,58	−0,93	1,84	329
06	737		34,86	2,98	−2,06	3,62	325	1,60	−1,25	2,03	321
07	380		25,78	2,89	−2,89	4,09	315	1,52	−2,08	2,58	306
08	455		6,61	−1,27	−11,29	11,36	263	−2,65	−10,48	10,81	255
09	460		9,49	−1,16	−8,21	8,29	261	−2,54	−7,40	7,82	251
10	462		11,32	−1,09	−6,97	7,06	261	−2,47	−6,16	6,64	248
11	464		13,45	−1,01	−5,92	6,01	260	−2,39	−5,11	5,64	244
12	468B		18,67	−0,84	−4,31	4,39	258	−2,21	−3,50	4,14	237
13	471		25,21	−0,65	−3,20	3,27	258	−2,03	−2,39	3,14	229
14	472		28,96	−0,56	−2,79	2,84	258	−1,94	−1,98	2,77	225
15	475		37,06	−0,37	−2,18	2,21	260	−1,75	−1,37	2,22	218
16	477		45,70	−0,19	−1,77	1,78	263	−1,56	−0,96	1,84	211
17	477		50,08	−0,09	−1,61	1,62	266	−1,47	−0,80	1,68	208
18	479C		58,60	0,08	−1,34	1,34	273	−1,28	−0,53	1,39	202
19	479		56,38	0,03	−1,42	1,42	271	−1,34	−0,61	1,47	204
20	484		56,72	0,06	−1,04	1,04	273	−1,30	−0,23	1,33	190
21	492		56,85	0,12	−0,64	0,65	280	−1,25	0,16	1,26	172
22	503		57,63	0,19	−0,39	0,44	296	−1,17	0,41	1,24	160
23	511G		58,68	0,26	−0,29	0,39	311	−1,11	0,51	1,22	155
24	521		60,88	0,35	−0,20	0,41	329	−1,02	0,60	1,18	149
25	532		65,12	0,52	−0,13	0,53	345	−0,85	0,67	1,08	141
26	545		74,21	0,85	−0,08	0,85	354	−0,52	0,72	0,89	126
27	563		93,38	1,56	−0,06	1,56	357	0,18	0,74	0,76	75
28	564		90,50	1,64	−0,03	1,64	358	0,26	0,77	0,82	71
29	565		88,67	1,69	−0,02	1,69	359	0,31	0,78	0,84	68
30	566		86,54	1,75	−0,01	1,75	359	0,37	0,79	0,87	64
31	568		81,32	1,88	−0,00	1,88	359	0,50	0,80	0,95	57
32	571Y		74,78	2,06	−0,00	2,06	359	0,68	0,80	1,05	49
33	573		71,03	2,17	−0,00	2,17	359	0,79	0,80	1,13	45
34	577		62,93	2,41	−0,00	2,41	359	1,03	0,80	1,31	38
35	581		54,29	2,69	−0,00	2,69	359	1,32	0,80	1,54	31
36	584R		49,91	2,85	−0,00	2,85	359	1,48	0,80	1,68	28
37	591		41,39	3,20	−0,05	3,20	−1	1,82	0,75	1,97	22
38	588		43,61	3,11	−0,02	3,11	0	1,73	0,78	1,90	24
39	689		43,27	3,09	−0,50	3,13	−9	1,71	0,30	1,74	10
U=D50			**100,00**	**1,378**	**−0,810**	**1,598**	**329**	**0,0**	**0,0**	**0,0**	**0**

$a=p_{an}=n_a p_a$=2,8[(1,000x−0,171+0,000z)/y] $A_{nu}=(a-a_u)\,Y$ $C_{ABnu}=[A^2_{nu}+B^2_{nu}]^{1/2}$
$b=p_{bn}=n_b p_b$=−1,0[(0,000x+0,000+1,000z)/y] $B_{nu}=(b-b_u)\,Y$ h_{ABnu}=atan[B_{nu}/A_{nu}]

DE720−8N

DE720−7R_pchartl=2_xcolorl=3(CIEF10)

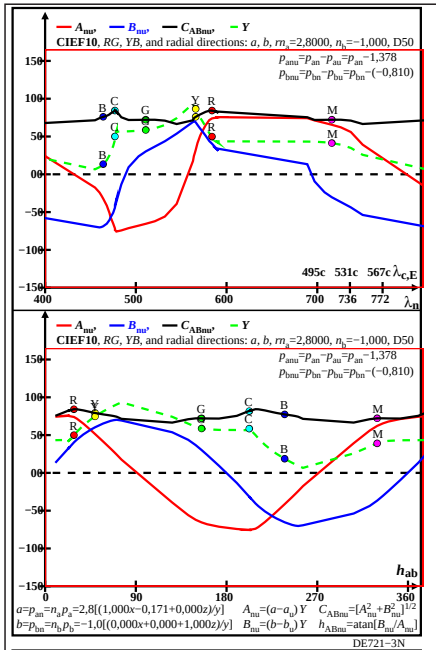

DE721−3N

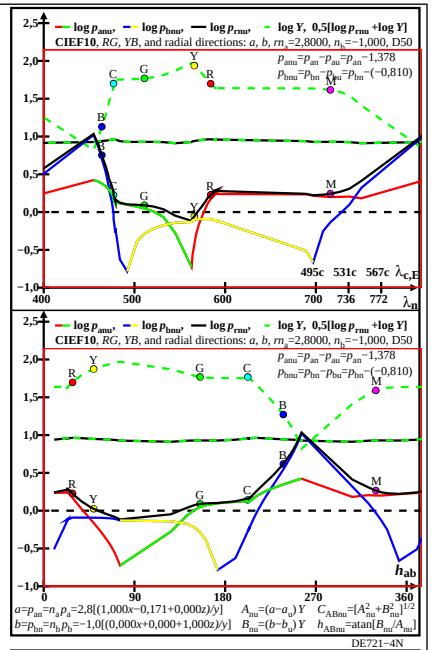

DE721−4N

X_w=96,74, Y_w=100,00, Z_w=81,03
x_w=0,3482 y_w=0,3600 z_w=0,2917
$a'_{2,nu}=(a_2-a_{2,u})\,Y_{18}\,[Y/Y_{18}]^{1/3}$
$b'_{2,nu}=(b_2-b_{2,u})\,Y_{18}\,[Y/Y_{18}]^{1/3}$
$a_2=n_a[(1,000x-0,171+0,000z)/y]$
$b_2=n_b[(0,000x+0,000+1,000z)/y]$
n_a = 2,80, n_b = −1,00
n = D50

$\lambda_{B,G,Y,R}$=475,503,574,494c,E nm
Ostwald colours (o), Y_w=100,00
max (m) chromatic value, D50
purity (a_2, b_2)Y_{18} ($Y/Y_{18}^{1/3}$)

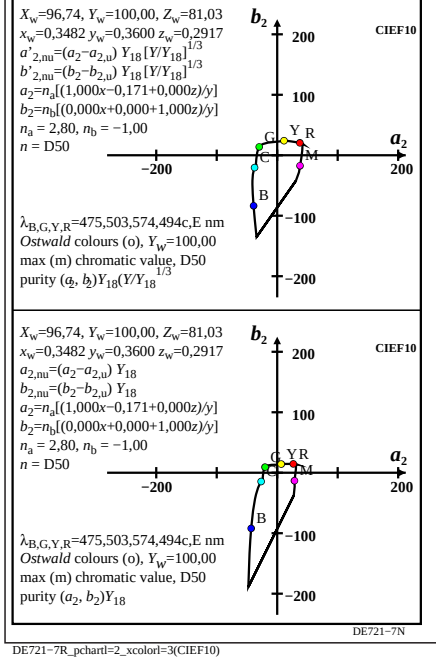

DE721−7N

X_w=96,74, Y_w=100,00, Z_w=81,03
x_w=0,3482 y_w=0,3600 z_w=0,2917
$A_2=(a_2-a_{2,u})\,Y/[Y/Y_{18}]^{1/3}$
$B_2=(b_2-b_{2,u})\,Y/[Y/Y_{18}]^{1/3}$
$a_2=n_a[(1,000x-0,171+0,000z)/y]$
$b_2=n_b[(0,000x+0,000+1,000z)/y]$
n_a = 2,80, n_b = −1,00
n = D50

$\lambda_{B,G,Y,R}$=475,503,574,494c,E nm
Ostwald colours (o), Y_w=100,00
max (m) chromatic value, D50
chroma (A^*_2, B^*_2)

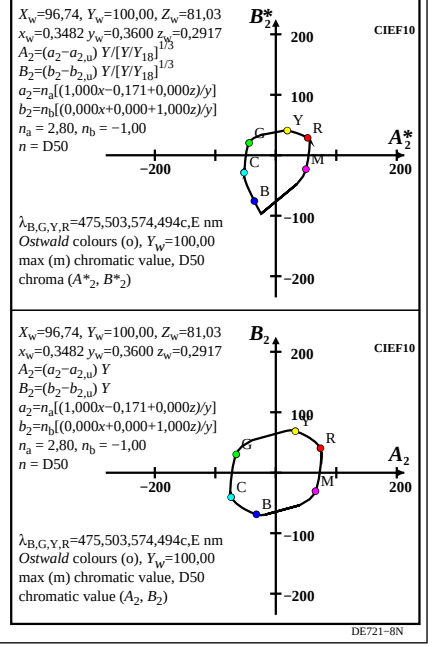

DE721−8N

DE721−7R_pchartl=2_xcolorl=3(CIEF10)

R17M tristimulus values, chromatic values, and putities (n_a=2,8, n_b=−1,0).
Normalized *Ostwald (O)* tristimulus values (Y_w=100), odered by wavelength.

no. O C	tristimulus values and chromaticities						*nu*-chromatic values			
λ_n	*X*	*Y*	*Z*	*x*	*y*	*z*	A_{nu}	B_{nu}	C_{ABnu}	h_{ABnu}
00 373	50,84	23,58	64,46	0,366	0,169	0,464	44,8	−45,4	63,7	314
01 450	26,22	10,37	70,14	0,245	0,097	0,657	8,6	−61,7	62,3	277
02 463	19,81	9,03	72,37	0,195	0,089	0,715	−4,8	−65,0	65,2	265
03 465	19,87	11,18	74,25	0,188	0,106	0,705	−9,4	−65,2	65,9	261
04 470B	20,04	16,46	77,00	0,176	0,145	0,678	−19,9	−63,6	66,7	252
05 474	20,76	23,15	78,71	0,169	0,188	0,641	−31,0	−60,0	67,5	242
06 477	22,69	31,32	79,75	0,169	0,234	0,596	−41,7	−54,4	68,6	232
07 479	24,27	35,77	80,07	0,173	0,255	0,571	−46,2	−51,1	68,9	227
08 481	28,86	45,22	80,48	0,186	0,292	0,520	−52,7	−43,9	68,6	219
09 482	30,21	48,30	79,14	0,191	0,306	0,501	−54,4	−40,1	67,6	216
10 487C	26,13	48,90	65,44	0,186	0,348	0,465	−58,4	−25,9	63,9	203
11 496	20,48	50,06	44,06	0,178	0,436	0,384	−63,4	−3,6	63,5	183
12 500	20,60	52,31	38,55	0,184	0,469	0,345	−64,5	3,7	64,6	176
13 509	19,40	53,50	28,42	0,191	0,528	0,280	−64,6	14,8	66,2	167
14 511	21,83	56,54	28,46	0,204	0,529	0,266	−64,4	17,2	66,7	165
15 518	24,65	60,36	24,01	0,226	0,553	0,220	−62,6	24,7	67,3	158
16 530G	29,99	65,40	16,35	0,268	0,585	0,146	−55,6	36,5	66,5	146
17 538	43,18	76,41	16,37	0,317	0,562	0,120	−44,7	45,3	63,7	134
18 553	67,80	89,62	10,69	0,403	0,533	0,063	−8,6	61,7	62,3	97
19 557	74,22	90,96	8,45	0,427	0,523	0,048	4,9	65,0	65,2	85
20 558	74,15	88,81	6,58	0,437	0,523	0,038	9,5	65,1	65,8	81
21 561	73,98	83,52	3,84	0,458	0,517	0,023	19,9	63,6	66,7	72
22 565	73,26	76,83	2,11	0,481	0,504	0,013	31,1	59,9	67,5	62
23 570Y	71,33	68,67	1,09	0,505	0,486	0,007	41,7	54,4	68,5	52
24 572	69,75	64,22	0,76	0,517	0,476	0,005	46,2	51,1	68,9	47
25 578	65,16	54,77	0,35	0,541	0,455	0,002	52,7	43,9	68,6	39
26 581	63,81	51,69	1,69	0,544	0,441	0,014	54,5	40,0	67,6	36
27 600	67,89	51,09	15,38	0,505	0,380	0,114	58,5	25,9	63,9	23
28 705	73,42	47,68	42,28	0,449	0,291	0,258	64,5	−3,7	64,6	356
29 714R	74,62	46,49	52,41	0,430	0,267	0,302	64,6	−14,8	66,3	347
30 716	72,19	43,45	52,37	0,429	0,258	0,311	64,4	−17,2	66,7	345
31 723	69,37	39,63	56,82	0,418	0,238	0,342	62,6	−24,7	67,3	338
32 735	64,03	34,59	64,49	0,392	0,212	0,395	55,6	−36,5	66,5	326
33 743	50,84	23,58	64,46	0,366	0,169	0,464	44,8	−45,4	63,7	314
34 815	26,22	10,37	70,14	0,245	0,097	0,657	8,6	−61,7	62,3	277
U=D50	**94,03**	**100,00**	**80,83**	**0,342**	**0,363**	**0,363**	**0,0**	**0,0**	**0,0**	**0**

$a=p_{an}=n_a p_a$=2,8[(1,000x−0,171+0,000z)/y] $A_{nu}=(a-a_u)\,Y$ $C_{ABnu}=[A^2_{nu}+B^2_{nu}]^{1/2}$
$b=p_{bn}=n_b p_b$=−1,0[(0,000x+0,000+1,000z)/y] $B_{nu}=(b-b_u)\,Y$ $h_{ABnu}=\text{atan}[B_{nu}/A_{nu}]$

DE720−3N

R17M tristimulus values, chromatic values, and putities (n_a=2,8, n_b=−1,0).
Normalized *Ostwald (O)* tristimulus values (Y_w=100), odered by wavelength.

no. O C	*n*-purities					*nu*-purities				
λ_n	*Y*	p_{an}	p_{bn}	p_{rn}	h_{abn}	p_{anu}	p_{bnu}	p_{rnu}	h_{abnu}
00 373	23,58	3,21	−2,73	4,22	319	1,90	−1,92	2,70	314
01 450	10,37	2,15	−6,76	7,09	287	0,83	−5,95	6,01	277
02 463	9,03	0,77	−8,01	8,05	275	−0,54	−7,20	7,22	265
03 465	11,18	0,46	−6,64	6,65	274	−0,84	−5,83	5,89	261
04 470B	16,46	0,10	−4,67	4,67	271	−1,20	−3,86	4,05	252
05 474	23,15	−0,02	−3,40	3,40	269	−1,34	−2,59	2,91	242
06 477	31,32	−0,01	−2,54	2,54	269	−1,33	−1,73	2,19	232
07 479	35,77	0,02	−2,23	2,23	270	−1,29	−1,43	1,92	227
08 481	45,22	0,15	−1,77	1,78	274	−1,16	−0,97	1,51	219
09 482	48,30	0,18	−1,63	1,64	276	−1,12	−0,83	1,40	216
10 487C	48,90	0,12	−1,33	1,34	275	−1,19	−0,53	1,30	203
11 496	50,06	0,04	−0,88	0,88	273	−1,26	−0,07	1,26	183
12 500	52,31	0,08	−0,73	0,74	276	−1,23	0,07	1,23	176
13 509	53,50	0,10	−0,53	0,54	281	−1,20	0,27	1,23	167
14 511	56,54	0,17	−0,50	0,53	289	−1,13	0,30	1,18	165
15 518	60,36	0,27	−0,39	0,48	305	−1,03	0,41	1,11	158
16 530G	65,40	0,46	−0,25	0,52	331	−0,85	0,55	1,01	146
17 538	76,41	0,73	−0,21	0,76	343	−0,58	0,59	0,83	134
18 553	89,62	1,22	−0,11	1,22	354	−0,09	0,68	0,69	97
19 557	90,96	1,37	−0,09	1,37	356	0,05	0,71	0,71	85
20 558	88,81	1,42	−0,07	1,42	357	0,10	0,73	0,74	81
21 561	83,52	1,55	−0,04	1,55	358	0,23	0,76	0,79	72
22 565	76,83	1,72	−0,02	1,72	359	0,40	0,78	0,87	62
23 570Y	68,67	1,92	−0,01	1,92	359	0,60	0,79	0,99	52
24 572	64,22	2,03	−0,01	2,03	359	0,72	0,79	1,07	47
25 578	54,77	2,27	−0,00	2,27	359	0,96	0,80	1,25	39
26 581	51,69	2,37	−0,03	2,37	359	1,05	0,77	1,30	36
27 600	51,09	2,46	−0,30	2,47	353	1,14	0,50	1,25	23
28 705	47,68	2,67	−0,88	2,81	341	1,35	−0,07	1,35	356
29 714R	46,49	2,70	−1,12	2,93	337	1,39	−0,31	1,42	347
30 716	43,45	2,80	−1,20	3,04	336	1,48	−0,39	1,53	345
31 723	39,63	2,89	−1,43	3,23	333	1,58	−0,62	1,70	338
32 735	34,59	2,92	−1,86	3,46	327	1,60	−1,05	1,92	326
33 743	23,58	3,21	−2,73	4,22	319	1,90	−1,92	2,70	314
34 815	10,37	2,15	−6,76	7,09	287	0,83	−5,95	6,01	277
U=D50	**100,00**	**1,316**	**−0,808**	**1,544**	**328**	**0,0**	**0,0**	**0,0**	**0**

$a=p_{an}=n_a p_a$=2,8[(1,000x−0,171+0,000z)/y] $A_{nu}=(a-a_u)\,Y$ $C_{ABnu}=[A^2_{nu}+B^2_{nu}]^{1/2}$
$b=p_{bn}=n_b p_b$=−1,0[(0,000x+0,000+1,000z)/y] $B_{nu}=(b-b_u)\,Y$ $h_{ABnu}=\text{atan}[B_{nu}/A_{nu}]$

DE720−4N

R17M tristimulus values, chromatic values, and putities (n_a=2,8, n_b=−1,0).
Normalized *Ostwald (O)* tristimulus values (Y_w=100), odered by hue angle.

no. O C	tristimulus values and chromaticities						*nu*-chromatic values			
λ_n	*X*	*Y*	*Z*	*x*	*y*	*z*	A_{nu}	B_{nu}	C_{ABnu}	h_{ABnu}
00 600	67,89	51,09	15,38	0,505	0,380	0,114	58,5	25,9	63,9	383
01 705	73,42	47,68	42,28	0,449	0,291	0,258	64,5	−3,7	64,6	356
02 714	74,62	46,49	52,41	0,430	0,267	0,302	64,6	−14,8	66,3	347
03 716	72,19	43,45	52,37	0,429	0,258	0,311	64,4	−17,2	66,7	345
04 723	69,37	39,63	56,82	0,418	0,238	0,342	62,6	−24,7	67,3	338
05 735M	64,03	34,59	64,49	0,392	0,212	0,395	55,6	−36,5	66,5	326
06 373	50,84	23,58	64,46	0,366	0,169	0,464	44,8	−45,4	63,7	314
07 450	26,22	10,37	70,14	0,245	0,097	0,657	8,6	−61,7	62,3	277
08 463	19,81	9,03	72,37	0,195	0,089	0,715	−4,8	−65,0	65,2	265
09 465	19,87	11,18	74,25	0,188	0,106	0,705	−9,4	−65,2	65,9	261
10 470	20,04	16,46	77,00	0,176	0,145	0,678	−19,9	−63,6	66,7	252
11 474	20,76	23,15	78,71	0,169	0,188	0,641	−31,0	−60,0	67,5	242
12 477B	22,69	31,32	79,75	0,169	0,234	0,596	−41,7	−54,4	68,6	232
13 479	24,27	35,77	80,07	0,173	0,255	0,571	−46,2	−51,1	68,9	227
14 481	28,86	45,22	80,48	0,186	0,292	0,520	−52,7	−43,9	68,6	219
15 482	30,21	48,30	79,14	0,191	0,306	0,501	−54,4	−40,1	67,6	216
16 487	26,13	48,90	65,44	0,186	0,348	0,465	−58,4	−25,9	63,9	203
17 496	20,48	50,06	44,06	0,178	0,436	0,384	−63,4	−3,6	63,5	183
18 500C	20,60	52,31	38,55	0,184	0,469	0,345	−64,5	3,7	64,6	176
19 509	19,40	53,50	28,42	0,191	0,528	0,280	−64,6	14,8	66,2	167
20 511	21,83	56,54	28,46	0,204	0,529	0,266	−64,4	17,2	66,7	165
21 518	24,65	60,36	24,01	0,226	0,553	0,220	−62,6	24,7	67,3	158
22 530	29,99	65,40	16,35	0,268	0,585	0,146	−55,6	36,5	66,5	146
23 538G	43,18	76,41	16,37	0,317	0,562	0,120	−44,7	45,3	63,7	134
24 553	67,80	89,62	10,69	0,403	0,533	0,063	−8,6	61,7	62,3	97
25 557	74,22	90,96	8,45	0,427	0,523	0,048	4,9	65,0	65,2	85
26 558	74,15	88,81	6,58	0,437	0,523	0,038	9,5	65,1	65,8	81
27 561	73,98	83,52	3,84	0,458	0,517	0,023	19,9	63,6	66,7	72
28 565	73,26	76,83	2,11	0,481	0,504	0,013	31,1	59,9	67,5	62
29 570	71,33	68,67	1,09	0,505	0,486	0,007	41,7	54,4	68,5	52
30 572	69,75	64,22	0,76	0,517	0,476	0,005	46,2	51,1	68,9	47
31 578	65,16	54,77	0,35	0,541	0,455	0,002	52,7	43,9	68,6	39
32 581Y	63,81	51,69	1,69	0,544	0,441	0,014	54,5	40,0	67,6	36
33 600	67,89	51,09	15,38	0,505	0,380	0,114	58,5	25,9	63,9	23
34 705	73,42	47,68	42,28	0,449	0,291	0,258	64,5	−3,7	64,6	−3
U=D50	**94,03**	**100,00**	**80,83**	**0,342**	**0,363**	**0,363**	**0,0**	**0,0**	**0,0**	**0**

$a=p_{an}=n_a p_a$=2,8[(1,000x−0,171+0,000z)/y] $A_{nu}=(a-a_u)\,Y$ $C_{ABnu}=[A^2_{nu}+B^2_{nu}]^{1/2}$
$b=p_{bn}=n_b p_b$=−1,0[(0,000x+0,000+1,000z)/y] $B_{nu}=(b-b_u)\,Y$ $h_{ABnu}=\text{atan}[B_{nu}/A_{nu}]$

DE720−7N

R17M tristimulus values, chromatic values, and putities (n_a=2,8, n_b=−1,0).
Normalized *Ostwald (O)* tristimulus values (Y_w=100), odered by hue angle.

no. O C	*n*-purities					*nu*-purities				
λ_n	*Y*	p_{an}	p_{bn}	p_{rn}	h_{abn}	p_{anu}	p_{bnu}	p_{rnu}	h_{abnu}
00 600	51,09	2,46	−0,30	2,47	353	1,14	0,50	1,25	383
01 705	47,68	2,67	−0,88	2,81	341	1,35	−0,07	1,35	356
02 714	46,49	2,70	−1,12	2,93	337	1,39	−0,31	1,42	347
03 716	43,45	2,80	−1,20	3,04	336	1,48	−0,39	1,53	345
04 723	39,63	2,89	−1,43	3,23	333	1,58	−0,62	1,70	338
05 735M	34,59	2,92	−1,86	3,46	327	1,60	−1,05	1,92	326
06 373	23,58	3,21	−2,73	4,22	319	1,90	−1,92	2,70	314
07 450	10,37	2,15	−6,76	7,09	287	0,83	−5,95	6,01	277
08 463	9,03	0,77	−8,01	8,05	275	−0,54	−7,20	7,22	265
09 465	11,18	0,46	−6,64	6,65	274	−0,84	−5,83	5,89	261
10 470	16,46	0,10	−4,67	4,67	271	−1,20	−3,86	4,05	252
11 474	23,15	−0,02	−3,40	3,40	269	−1,34	−2,59	2,91	242
12 477B	31,32	−0,01	−2,54	2,54	269	−1,33	−1,73	2,19	232
13 479	35,77	0,02	−2,23	2,23	270	−1,29	−1,43	1,92	227
14 481	45,22	0,15	−1,77	1,78	274	−1,16	−0,97	1,51	219
15 482	48,30	0,18	−1,63	1,64	276	−1,12	−0,83	1,40	216
16 487	48,90	0,12	−1,33	1,34	275	−1,19	−0,53	1,30	203
17 496	50,06	0,04	−0,88	0,88	273	−1,26	−0,07	1,26	183
18 500C	52,31	0,08	−0,73	0,74	276	−1,23	0,07	1,23	176
19 509	53,50	0,10	−0,53	0,54	281	−1,20	0,27	1,23	167
20 511	56,54	0,17	−0,50	0,53	289	−1,13	0,30	1,18	165
21 518	60,36	0,27	−0,39	0,48	305	−1,03	0,41	1,11	158
22 530	65,40	0,46	−0,25	0,52	331	−0,85	0,55	1,01	146
23 538G	76,41	0,73	−0,21	0,76	343	−0,58	0,59	0,83	134
24 553	89,62	1,22	−0,11	1,22	354	−0,09	0,68	0,69	97
25 557	90,96	1,37	−0,09	1,37	356	0,05	0,71	0,71	85
26 558	88,81	1,42	−0,07	1,42	357	0,10	0,73	0,74	81
27 561	83,52	1,55	−0,04	1,55	358	0,23	0,76	0,79	72
28 565	76,83	1,72	−0,02	1,72	359	0,40	0,78	0,87	62
29 570	68,67	1,92	−0,01	1,92	359	0,60	0,79	0,99	52
30 572	64,22	2,03	−0,01	2,03	359	0,72	0,79	1,07	47
31 578	54,77	2,27	−0,00	2,27	359	0,96	0,80	1,25	39
32 581Y	51,69	2,37	−0,03	2,37	0	1,05	0,77	1,30	36
33 600	51,09	2,46	−0,30	2,47	−6	1,14	0,50	1,25	23
34 705	47,68	2,67	−0,88	2,81	−18	1,35	−0,07	1,35	−3
U=D50	**100,00**	**1,316**	**−0,808**	**1,544**	**328**	**0,0**	**0,0**	**0,0**	**0**

$a=p_{an}=n_a p_a$=2,8[(1,000x−0,171+0,000z)/y] $A_{nu}=(a-a_u)\,Y$ $C_{ABnu}=[A^2_{nu}+B^2_{nu}]^{1/2}$
$b=p_{bn}=n_b p_b$=−1,0[(0,000x+0,000+1,000z)/y] $B_{nu}=(b-b_u)\,Y$ $h_{ABnu}=\text{atan}[B_{nu}/A_{nu}]$

DE720−8N

DE720−7R_pchartl=2_xcolorl=4(R17M)

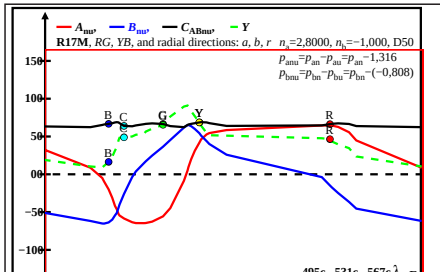

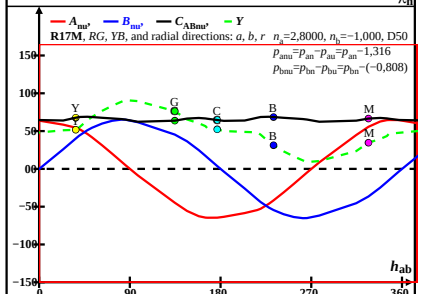

$a=p_{an}=n_a p_a$=2,8[(1,000x−0,171+0,000z)/y] $A_{nu}=(a-a_u)\,Y$ $C_{ABnu}=[A^2_{nu}+B^2_{nu}]^{1/2}$
$b=p_{bn}=n_b p_b$=−1,0[(0,000x+0,000+1,000z)/y] $B_{nu}=(b-b_u)\,Y$ $h_{ABnu}=\text{atan}[B_{nu}/A_{nu}]$

DE721−3N

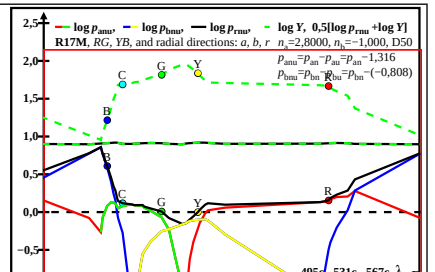

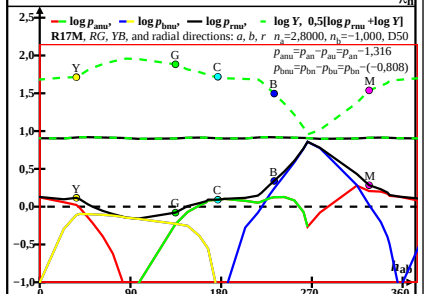

$a=p_{an}=n_a p_a$=2,8[(1,000x−0,171+0,000z)/y] $A_{nu}=(a-a_u)\,Y$ $C_{ABnu}=[A^2_{nu}+B^2_{nu}]^{1/2}$
$b=p_{bn}=n_b p_b$=−1,0[(0,000x+0,000+1,000z)/y] $B_{nu}=(b-b_u)\,Y$ $h_{ABnu}=\text{atan}[B_{nu}/A_{nu}]$

DE721−4N

X_w=94,03, Y_w=100,00, Z_w=80,83
x_w=0,3420 y_w=0,3638 z_w=0,2941
$a'_{2,nu}=(a_2-a_{2,u})\,Y_{18}[Y/Y_{18}]^{1/3}$
$b'_{2,nu}=(b_2-b_{2,u})\,Y_{18}[Y/Y_{18}]^{1/3}$
$a_2=n_a[(1,000x-0,171+0,000z)/y]$
$b_2=n_b[(0,000x+0,000+1,000z)/y]$
n_a = 2,80, n_b = −1,00
n = D50

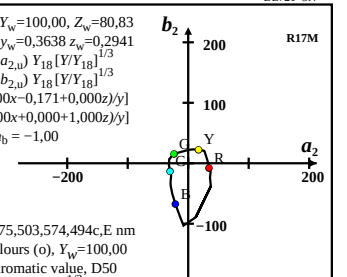

$\lambda_{B,G,Y,R}$=475,503,574,494c,E nm
Ostwald colours (o), Y_w=100,00
max (m) chromatic value, D50
purity (a_2, b_2)Y_{18} $(Y/Y_{18}^{1/3}$

DE721−7N

X_w=94,03, Y_w=100,00, Z_w=80,83
x_w=0,3420 y_w=0,3638 z_w=0,2941
$a_{2,nu}=(a_2-a_{2,u})\,Y_{18}$
$b_{2,nu}=(b_2-b_{2,u})\,Y_{18}$
$a_2=n_a[(1,000x-0,171+0,000z)/y]$
$b_2=n_b[(0,000x+0,000+1,000z)/y]$
n_a = 2,80, n_b = −1,00
n = D50

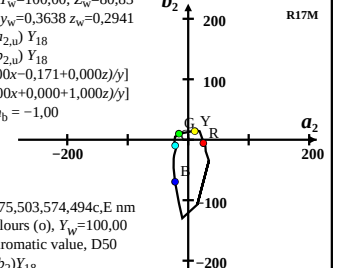

$\lambda_{B,G,Y,R}$=475,503,574,494c,E nm
Ostwald colours (o), Y_w=100,00
max (m) chromatic value, D50
purity (a_2, b_2)Y_{18}

DE721−8N

DE721−7R_pchartl=2_xcolorl=4(R17M)

X_w=94,03, Y_w=100,00, Z_w=80,83
x_w=0,3420 y_w=0,3638 z_w=0,2941
$A_2=(a_2-a_{2,u})\,Y/[Y/Y_{18}]^{1/3}$
$B_2=(b_2-b_{2,u})\,Y/[Y/Y_{18}]^{1/3}$
$a_2=n_a[(1,000x-0,171+0,000z)/y]$
$b_2=n_b[(0,000x+0,000+1,000z)/y]$
n_a = 2,80, n_b = −1,00
n = D50

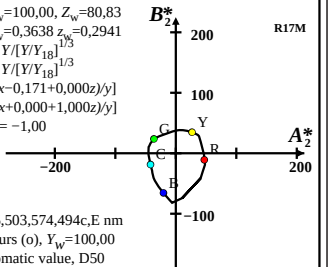

$\lambda_{B,G,Y,R}$=475,503,574,494c,E nm
Ostwald colours (o), Y_w=100,00
max (m) chromatic value, D50
chroma (A^*_2, B^*_2)

X_w=94,03, Y_w=100,00, Z_w=80,83
x_w=0,3420 y_w=0,3638 z_w=0,2941
$A_2=(a_2-a_{2,u})\,Y$
$B_2=(b_2-b_{2,u})\,Y$
$a_2=n_a[(1,000x-0,171+0,000z)/y]$
$b_2=n_b[(0,000x+0,000+1,000z)/y]$
n_a = 2,80, n_b = −1,00
n = D50

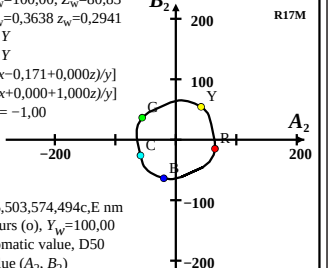

$\lambda_{B,G,Y,R}$=475,503,574,494c,E nm
Ostwald colours (o), Y_w=100,00
max (m) chromatic value, D50
chromatic value (A_2, B_2)

DE721−8N

R17Ms tristimulus values, chromatic values, and putities (n_a=2,8, n_b=−1,0).
Normalized *Ostwald (O)* tristimulus values (Y_w=100), ordered by wavelength.

no.	*O*	*C*	tristimulus values and chromaticities						*nu*-chromatic values			
		λ_n	*X*	*Y*	*Z*	*x*	*y*	*z*	A_{nu}	B_{nu}	C_{ABnu}	h_{ABnu}
00	375		52,09	25,14	67,62	0,359	0,173	0,466	43,5	−47,2	64,2	312
01	444		27,16	9,33	67,62	0,260	0,089	0,649	13,9	−60,0	61,6	283
02	463		21,19	9,55	72,48	0,205	0,092	0,702	−2,6	−64,7	64,8	267
03	465		21,27	11,71	74,36	0,198	0,109	0,692	−7,1	−64,8	65,2	263
04	470B		21,43	17,01	77,11	0,185	0,147	0,667	−17,6	−63,3	65,7	254
05	474		22,09	23,68	78,83	0,177	0,190	0,632	−28,8	−59,6	66,2	244
06	476		22,83	27,59	79,42	0,175	0,212	0,611	−34,3	−57,0	66,6	238
07	479		25,44	36,25	80,19	0,179	0,255	0,565	−44,1	−50,8	67,3	229
08	480		27,41	40,88	80,43	0,184	0,274	0,540	−48,0	−47,3	67,4	224
09	481		29,88	45,66	80,60	0,191	0,292	0,516	−50,9	−43,6	67,0	220
10	482C		31,14	48,71	79,26	0,195	0,306	0,498	−52,8	−39,8	66,1	217
11	488		25,13	49,09	60,78	0,186	0,363	0,450	−58,5	−21,0	62,2	199
12	496		20,67	50,20	44,12	0,179	0,436	0,383	−62,9	−3,4	63,0	183
13	500		20,63	52,39	38,61	0,184	0,469	0,345	−64,3	3,7	64,4	176
14	505		20,59	54,04	33,36	0,190	0,500	0,308	−64,8	10,3	65,6	170
15	515		20,37	55,82	24,00	0,203	0,557	0,239	−64,0	21,1	67,4	161
16	522G		23,24	59,39	19,95	0,226	0,578	0,194	−61,8	28,1	67,9	155
17	530		29,26	65,19	16,37	0,264	0,588	0,147	−56,5	36,3	67,2	147
18	540		41,69	74,85	13,32	0,321	0,576	0,102	−43,3	47,2	64,2	132
19	552		66,62	90,66	13,33	0,390	0,531	0,078	−13,9	60,0	61,6	103
20	557		72,58	90,44	8,47	0,423	0,527	0,049	2,6	64,7	64,7	87
21	558		72,51	88,28	6,59	0,433	0,527	0,039	7,2	64,8	65,2	83
22	561		72,35	82,98	3,84	0,454	0,521	0,024	17,6	63,3	65,7	74
23	565Y		71,69	76,31	2,11	0,477	0,508	0,014	28,8	59,6	66,2	64
24	567		70,94	72,40	1,53	0,489	0,499	0,010	34,4	57,0	66,6	58
25	572		68,33	63,74	0,76	0,514	0,479	0,005	44,2	50,8	67,3	48
26	575		66,36	59,11	0,52	0,526	0,469	0,004	48,0	47,3	67,4	44
27	578		63,90	54,33	0,35	0,538	0,458	0,002	50,9	43,6	67,0	40
28	581		62,64	51,28	1,69	0,541	0,443	0,014	52,8	39,8	66,1	36
29	614R		68,65	50,90	20,17	0,491	0,364	0,144	58,6	21,0	62,2	19
30	701		73,11	49,79	36,82	0,457	0,311	0,230	63,0	3,4	63,1	3
31	705		73,15	47,60	42,34	0,448	0,291	0,259	64,3	−3,8	64,4	356
32	710		73,19	45,95	47,59	0,438	0,275	0,285	64,9	−10,4	65,7	350
33	720		73,40	44,17	56,94	0,420	0,253	0,326	64,0	−21,1	67,5	341
34	727		70,53	40,59	61,00	0,409	0,235	0,354	61,8	−28,1	67,9	335
35	735M		64,51	34,79	64,58	0,393	0,212	0,394	56,6	−36,4	67,3	327
36	745		52,09	25,14	67,62	0,359	0,173	0,466	43,5	−47,2	64,2	312
37	809		27,16	9,33	67,62	0,260	0,089	0,649	13,9	−60,0	61,6	283
U=D50			**93,78**	**100,00**	**80,94**	**0,341**	**0,363**	**0,363**	**0,0**	**0,0**	**0,0**	**0**

$a=p_{an}=n_a p_a$=2,8[(1,000x−0,171+0,000z)/y] $A_{nu}=(a-a_u)\,Y$ $C_{ABnu}=[A^2_{nu}+B^2_{nu}]^{1/2}$
$b=p_{bn}=n_b p_b$=−1,0[(0,000x+0,000+1,000z)/y] $B_{nu}=(b-b_u)\,Y$ $h_{ABnu}=\text{atan}[B_{nu}/A_{nu}]$

DE720−3N

R17Ms tristimulus values, chromatic values, and putities (n_a=2,8, n_b=−1,0).
Normalized *Ostwald (O)* tristimulus values (Y_w=100), ordered by hue angle.

no.	*O*	*C*	tristimulus values and chromaticities						*nu*-chromatic values			
		λ_n	*X*	*Y*	*Z*	*x*	*y*	*z*	A_{nu}	B_{nu}	C_{ABnu}	h_{ABnu}
00	614		68,65	50,90	20,17	0,491	0,364	0,144	58,6	21,0	62,2	379
01	701		73,11	49,79	36,82	0,457	0,311	0,230	63,0	3,4	63,1	363
02	705		73,15	47,60	42,34	0,448	0,291	0,259	64,3	−3,8	64,4	356
03	710		73,19	45,95	47,59	0,438	0,275	0,285	64,9	−10,4	65,7	350
04	720		73,40	44,17	56,94	0,420	0,253	0,326	64,0	−21,1	67,5	341
05	727M		70,53	40,59	61,00	0,409	0,235	0,354	61,8	−28,1	67,9	335
06	735		64,51	34,79	64,58	0,393	0,212	0,394	56,6	−36,4	67,3	327
07	375		52,09	25,14	67,62	0,359	0,173	0,466	43,5	−47,2	64,2	312
08	444		27,16	9,33	67,62	0,260	0,089	0,649	13,9	−60,0	61,6	283
09	463		21,19	9,55	72,48	0,205	0,092	0,702	−2,6	−64,7	64,8	267
10	465		21,27	11,71	74,36	0,198	0,109	0,692	−7,1	−64,8	65,2	263
11	470		21,43	17,01	77,11	0,185	0,147	0,667	−17,6	−63,3	65,7	254
12	474B		22,09	23,68	78,83	0,177	0,190	0,632	−28,8	−59,6	66,2	244
13	476		22,83	27,59	79,42	0,175	0,212	0,611	−34,3	−57,0	66,6	238
14	479		25,44	36,25	80,19	0,179	0,255	0,565	−44,1	−50,8	67,3	229
15	480		27,41	40,88	80,43	0,184	0,274	0,540	−48,0	−47,3	67,4	224
16	481		29,88	45,66	80,60	0,191	0,292	0,516	−50,9	−43,6	67,0	220
17	482		31,14	48,71	79,26	0,195	0,306	0,498	−52,8	−39,8	66,1	217
18	488C		25,13	49,09	60,78	0,186	0,363	0,450	−58,5	−21,0	62,2	199
19	496		20,67	50,20	44,12	0,179	0,436	0,383	−62,9	−3,4	63,0	183
20	500		20,63	52,39	38,61	0,184	0,469	0,345	−64,3	3,7	64,4	176
21	505		20,59	54,04	33,36	0,190	0,500	0,308	−64,8	10,3	65,6	170
22	515		20,37	55,82	24,00	0,203	0,557	0,239	−64,0	21,1	67,4	161
23	522G		23,24	59,39	19,95	0,226	0,578	0,194	−61,8	28,1	67,9	155
24	530		29,26	65,19	16,37	0,264	0,588	0,147	−56,5	36,3	67,2	147
25	540		41,69	74,85	13,32	0,321	0,576	0,102	−43,5	47,2	64,2	132
26	552		66,62	90,66	13,33	0,390	0,531	0,078	−13,9	60,0	61,6	103
27	557		72,58	90,44	8,47	0,423	0,527	0,049	2,6	64,7	64,7	87
28	558		72,51	88,28	6,59	0,433	0,527	0,039	7,2	64,8	65,2	83
29	561		72,35	82,98	3,84	0,454	0,521	0,024	17,6	63,3	65,7	74
30	565		71,69	76,31	2,11	0,477	0,508	0,014	28,8	59,6	66,2	64
31	567		70,94	72,40	1,53	0,489	0,499	0,010	34,4	57,0	66,6	58
32	572Y		68,33	63,74	0,76	0,514	0,479	0,005	44,2	50,8	67,3	48
33	575		66,36	59,11	0,52	0,526	0,469	0,004	48,0	47,3	67,4	44
34	578		63,90	54,33	0,35	0,538	0,458	0,002	50,9	43,6	67,0	40
35	581		62,64	51,28	1,69	0,541	0,443	0,014	52,8	39,8	66,1	36
36	614R		68,65	50,90	20,17	0,491	0,364	0,144	58,6	21,0	62,2	19
37	701		73,11	49,79	36,82	0,457	0,311	0,230	63,0	3,4	63,1	3
U=D50			**93,78**	**100,00**	**80,94**	**0,341**	**0,363**	**0,363**	**0,0**	**0,0**	**0,0**	**0**

$a=p_{an}=n_a p_a$=2,8[(1,000x−0,171+0,000z)/y] $A_{nu}=(a-a_u)\,Y$ $C_{ABnu}=[A^2_{nu}+B^2_{nu}]^{1/2}$
$b=p_{bn}=n_b p_b$=−1,0[(0,000x+0,000+1,000z)/y] $B_{nu}=(b-b_u)\,Y$ $h_{ABnu}=\text{atan}[B_{nu}/A_{nu}]$

DE720−7N

DE720−7R_pchartl=2_xcolorl=5(R17Ms)

R17Ms tristimulus values, chromatic values, and putities (n_a=2,8, n_b=−1,0).
Normalized *Ostwald (O)* tristimulus values (Y_w=100), ordered by wavelength.

no.	*O*	*C*	*n*-purities					*nu*-purities				
		λ_n	*Y*	p_{an}	p_{bn}	p_{rn}	h_{abn}	p_{anu}	p_{bnu}	p_{rnu}	h_{abnu}
00	375		25,14	3,04	−2,69	4,06	318	1,73	−1,88	2,55	312
01	444		9,33	2,80	−7,24	7,77	291	1,49	−6,43	6,61	283
02	463		9,55	1,03	−7,58	7,66	277	−0,27	−6,78	6,78	267
03	465		11,71	0,69	−6,35	6,38	276	−0,61	−5,54	5,57	263
04	470B		17,01	0,27	−4,53	4,54	273	−1,03	−3,72	3,86	254
05	474		23,68	0,09	−3,32	3,33	271	−1,21	−2,51	2,79	244
06	476		27,59	0,06	−2,87	2,87	271	−1,24	−2,06	2,41	238
07	479		36,25	0,09	−2,21	2,21	272	−1,21	−1,40	1,85	229
08	480		40,88	0,13	−1,96	1,97	273	−1,17	−1,15	1,64	224
09	481		45,66	0,19	−1,76	1,77	276	−1,11	−0,95	1,46	220
10	482C		48,71	0,22	−1,62	1,64	277	−1,08	−0,81	1,35	217
11	488		49,09	0,11	−1,23	1,24	275	−1,19	−0,42	1,26	199
12	496		50,20	0,05	−0,87	0,88	273	−1,25	−0,06	1,25	183
13	500		52,39	0,08	−0,73	0,74	276	−1,22	0,07	1,22	176
14	505		54,04	0,11	−0,61	0,62	280	−1,20	0,19	1,21	170
15	515		55,82	0,16	−0,42	0,45	290	−1,14	0,37	1,20	161
16	522G		59,39	0,26	−0,33	0,43	308	−1,04	0,47	1,14	155
17	530		65,19	0,44	−0,25	0,50	330	−0,86	0,55	1,03	147
18	540		74,85	0,72	−0,17	0,75	346	−0,58	0,63	0,85	132
19	552		90,66	1,15	−0,14	1,16	352	−0,15	0,66	0,67	103
20	557		90,44	1,33	−0,09	1,34	356	0,02	0,71	0,71	87
21	558		88,28	1,39	−0,07	1,39	356	0,08	0,73	0,73	83
22	561		82,98	1,52	−0,04	1,52	358	0,21	0,76	0,79	74
23	565Y		76,31	1,68	−0,02	1,68	359	0,37	0,78	0,86	64
24	567		72,40	1,78	−0,02	1,78	359	0,47	0,78	0,92	58
25	572		63,74	2,00	−0,01	2,00	359	0,69	0,79	1,05	48
26	575		59,11	2,12	−0,00	2,12	359	0,81	0,80	1,14	44
27	578		54,33	2,24	−0,00	2,24	359	0,93	0,80	1,23	40
28	581		51,28	2,34	−0,03	2,34	359	1,03	0,77	1,29	36
29	614R		50,90	2,46	−0,39	2,49	350	1,15	0,41	1,22	19
30	701		49,79	2,57	−0,73	2,67	343	1,26	0,06	1,26	3
31	705		47,60	2,66	−0,88	2,80	341	1,35	−0,08	1,35	356
32	710		45,95	2,72	−1,03	2,91	339	1,41	−0,22	1,43	350
33	720		44,17	2,76	−1,28	3,04	334	1,45	−0,47	1,52	341
34	727		40,59	2,83	−1,50	3,20	332	1,52	−0,69	1,67	335
35	735M		34,79	2,93	−1,85	3,47	327	1,62	−1,04	1,93	327
36	745		25,14	3,04	−2,69	4,06	318	1,73	−1,88	2,55	312
37	809		9,33	2,80	−7,24	7,77	291	1,49	−6,43	6,61	283
U=D50			**100,00**	**1,310**	**−0,809**	**1,539**	**328**	**0,0**	**0,0**	**0,0**	**0**

$a=p_{an}=n_a p_a$=2,8[(1,000x−0,171+0,000z)/y] $A_{nu}=(a-a_u)\,Y$ $C_{ABnu}=[A^2_{nu}+B^2_{nu}]^{1/2}$
$b=p_{bn}=n_b p_b$=−1,0[(0,000x+0,000+1,000z)/y] $B_{nu}=(b-b_u)\,Y$ $h_{ABnu}=\text{atan}[B_{nu}/A_{nu}]$

DE720−8N

R17Ms tristimulus values, chromatic values, and putities (n_a=2,8, n_b=−1,0).
Normalized *Ostwald (O)* tristimulus values (Y_w=100), ordered by hue angle.

no.	*O*	*C*	*n*-purities					*nu*-purities				
		λ_n	*Y*	p_{an}	p_{bn}	p_{rn}	h_{abn}	p_{anu}	p_{bnu}	p_{rnu}	h_{abnu}
00	614		50,90	2,46	−0,39	2,49	350	1,15	0,41	1,22	379
01	701		49,79	2,57	−0,73	2,67	343	1,26	0,06	1,26	363
02	705		47,60	2,66	−0,88	2,80	341	1,35	−0,08	1,35	356
03	710		45,95	2,72	−1,03	2,91	339	1,41	−0,22	1,43	350
04	720		44,17	2,76	−1,28	3,04	334	1,45	−0,47	1,52	341
05	727M		40,59	2,83	−1,50	3,20	332	1,52	−0,69	1,67	335
06	735		34,79	2,93	−1,85	3,47	327	1,62	−1,04	1,93	327
07	375		25,14	3,04	−2,69	4,06	318	1,73	−1,88	2,55	312
08	444		9,33	2,80	−7,24	7,77	291	1,49	−6,43	6,61	283
09	463		9,55	1,03	−7,58	7,66	277	−0,27	−6,78	6,78	267
10	465		11,71	0,69	−6,35	6,38	276	−0,61	−5,54	5,57	263
11	470		17,01	0,27	−4,53	4,54	273	−1,03	−3,72	3,86	254
12	474B		23,68	0,09	−3,32	3,33	271	−1,21	−2,51	2,79	244
13	476		27,59	0,06	−2,87	2,87	271	−1,24	−2,06	2,41	238
14	479		36,25	0,09	−2,21	2,21	272	−1,21	−1,40	1,85	229
15	480		40,88	0,13	−1,96	1,97	273	−1,17	−1,15	1,64	224
16	481		45,66	0,19	−1,76	1,77	276	−1,11	−0,95	1,46	220
17	482		48,71	0,22	−1,62	1,64	277	−1,08	−0,81	1,35	217
18	488C		49,09	0,11	−1,23	1,24	275	−1,19	−0,42	1,26	199
19	496		50,20	0,05	−0,87	0,88	273	−1,25	−0,06	1,25	183
20	500		52,39	0,08	−0,73	0,74	276	−1,22	0,07	1,22	176
21	505		54,04	0,11	−0,61	0,62	280	−1,20	0,19	1,21	170
22	515		55,82	0,16	−0,42	0,45	290	−1,14	0,37	1,20	161
23	522G		59,39	0,26	−0,33	0,43	308	−1,04	0,47	1,14	155
24	530		65,19	0,44	−0,25	0,50	330	−0,86	0,55	1,03	147
25	540		74,85	0,72	−0,17	0,75	346	−0,58	0,63	0,85	132
26	552		90,66	1,15	−0,14	1,16	352	−0,15	0,66	0,67	103
27	557		90,44	1,33	−0,09	1,34	356	0,02	0,71	0,71	87
28	558		88,28	1,39	−0,07	1,39	356	0,08	0,73	0,73	83
29	561		82,98	1,52	−0,04	1,52	358	0,21	0,76	0,79	74
30	565		76,31	1,68	−0,02	1,68	359	0,37	0,78	0,86	64
31	567		72,40	1,78	−0,02	1,78	359	0,47	0,78	0,92	58
32	572Y		63,74	2,00	−0,01	2,00	359	0,69	0,79	1,05	48
33	575		59,11	2,12	−0,00	2,12	359	0,81	0,80	1,14	44
34	578		54,33	2,24	−0,00	2,24	359	0,93	0,80	1,23	40
35	581		51,28	2,34	−0,03	2,34	0	1,03	0,77	1,29	36
36	614R		50,90	2,46	−0,39	2,49	−9	1,15	0,41	1,22	19
37	701		49,79	2,57	−0,73	2,67	−16	1,26	0,06	1,26	3
U=D50			**100,00**	**1,310**	**−0,809**	**1,539**	**328**	**0,0**	**0,0**	**0,0**	**0**

$a=p_{an}=n_a p_a$=2,8[(1,000x−0,171+0,000z)/y] $A_{nu}=(a-a_u)\,Y$ $C_{ABnu}=[A^2_{nu}+B^2_{nu}]^{1/2}$
$b=p_{bn}=n_b p_b$=−1,0[(0,000x+0,000+1,000z)/y] $B_{nu}=(b-b_u)\,Y$ $h_{ABnu}=\text{atan}[B_{nu}/A_{nu}]$

DE720−8R

DE721−7R_pchartl=2_xcolorl=5(R17Ms)

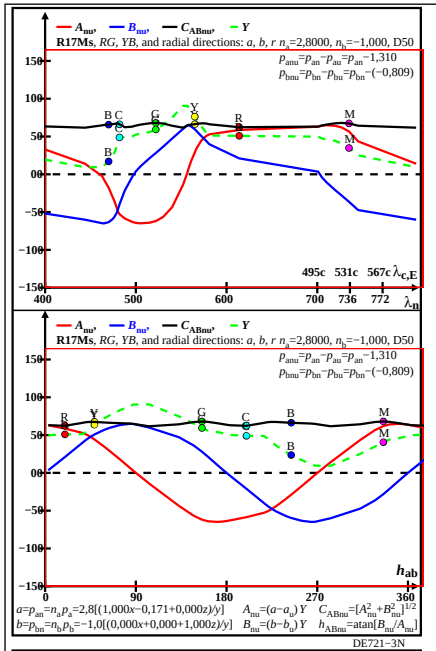

DE721−3N

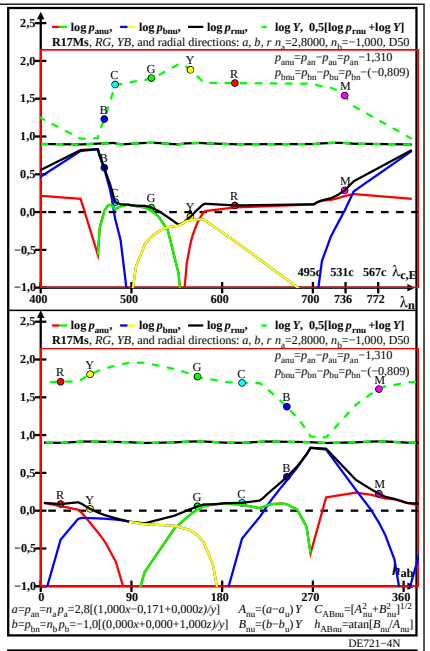

DE721−4N

X_w=93,78, Y_w=100,00, Z_w=80,94
x_w=0,3413 y_w=0,3639 z_w=0,2946
$a'_{2,nu}=(a_2-a_{2,u})\;Y_{18}\,[Y/Y_{18}]^{1/3}$
$b'_{2,nu}=(b_2-b_{2,u})\;Y_{18}\,[Y/Y_{18}]^{1/3}$
$a_2=n_a[(1{,}000x-0{,}171+0{,}000z)/y]$
$b_2=n_b[(0{,}000x+0{,}000+1{,}000z)/y]$
n_a = 2,80, n_b = −1,00
n = D50

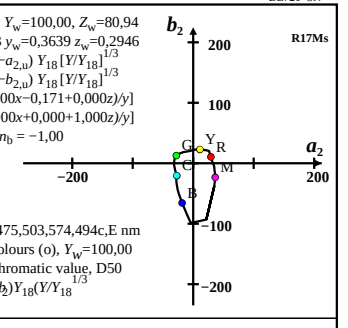

$\lambda_{B,G,Y,R}$=475,503,574,494c,E nm
Ostwald colours (o), Y_w=100,00
max (m) chromatic value, D50
purity (a_2, b_2)Y_{18} (Y/Y_{18} $^{1/3}$)

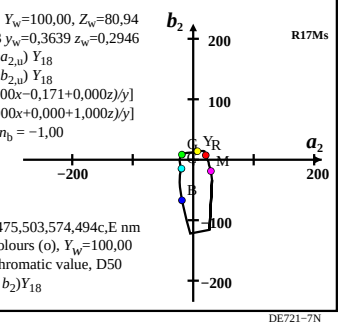

$\lambda_{B,G,Y,R}$=475,503,574,494c,E nm
Ostwald colours (o), Y_w=100,00
max (m) chromatic value, D50
purity (a_2, b_2)Y_{18}

DE721−7N

X_w=93,78, Y_w=100,00, Z_w=80,94
x_w=0,3413 y_w=0,3639 z_w=0,2946
$A_2=(a_2-a_{2,u})\;Y/[Y/Y_{18}]^{1/3}$
$B_2=(b_2-b_{2,u})\;Y/[Y/Y_{18}]^{1/3}$
$a_2=n_a[(1{,}000x-0{,}171+0{,}000z)/y]$
$b_2=n_b[(0{,}000x+0{,}000+1{,}000z)/y]$
n_a = 2,80, n_b = −1,00
n = D50

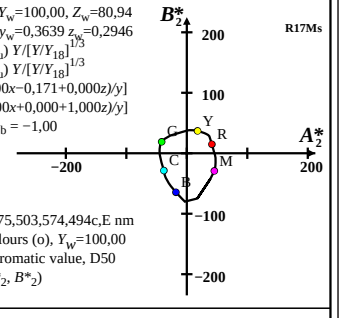

$\lambda_{B,G,Y,R}$=475,503,574,494c,E nm
Ostwald colours (o), Y_w=100,00
max (m) chromatic value, D50
chroma (A^*_2, B^*_2)

X_w=93,78, Y_w=100,00, Z_w=80,94
x_w=0,3413 y_w=0,3639 z_w=0,2946
$A_2=(a_2-a_{2,u})\;Y$
$B_2=(b_2-b_{2,u})\;Y$
$a_2=n_a[(1{,}000x-0{,}171+0{,}000z)/y]$
$b_2=n_b[(0{,}000x+0{,}000+1{,}000z)/y]$
n_a = 2,80, n_b = −1,00
n = D50

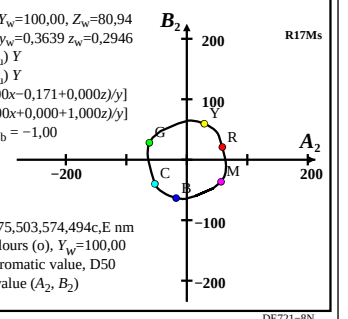

$\lambda_{B,G,Y,R}$=475,503,574,494c,E nm
Ostwald colours (o), Y_w=100,00
max (m) chromatic value, D50
chromatic value (A_2, B_2)

DE721−8N